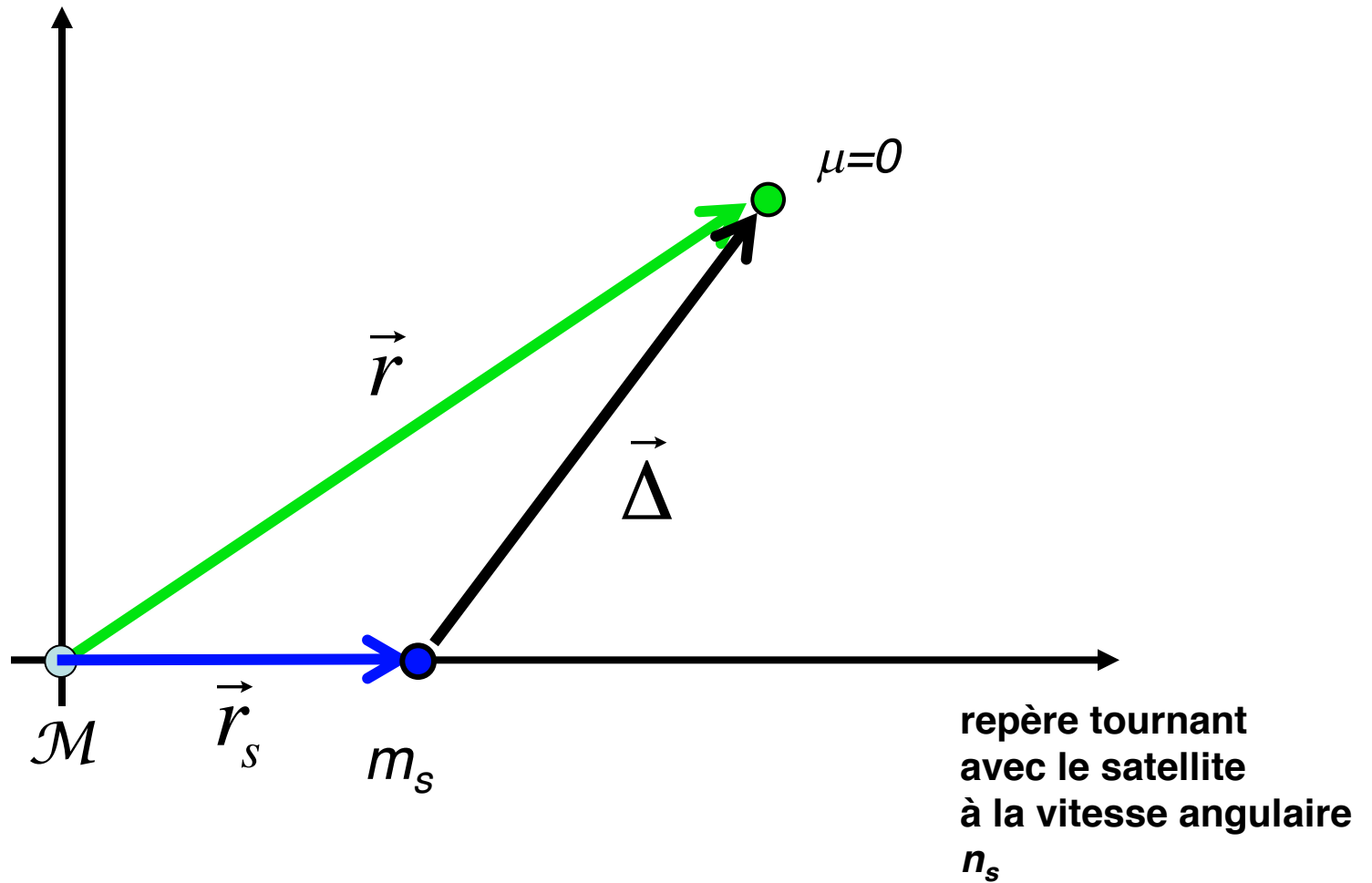


effets des non-linéarités: [approche géométrique](#)
(le deuxième modèle fondamental des résonances)

problème *restreint, circulaire (mais pas nécessairement plan)*



interprétation de la constante de Jacobi

dynamique de la particule dans repère tournant
avec le perturbateur

$$\vec{\gamma}_{\text{rot}} = \underbrace{-\frac{GM}{r^3} \vec{r}}_1 \quad \underbrace{-\frac{Gm_s}{\Delta^3} \vec{\Delta}}_2 \quad \underbrace{-\frac{Gm_s}{r_s^3} \vec{r}_s}_3 \quad \underbrace{+ n_s^2 \vec{r}}_4 \quad \underbrace{+ 2\vec{v}_{\text{rot}} \times \vec{n}_s}_5$$

1: accélération *directe* due à \mathcal{M}

2: accélération *directe* due à m_s

3: accélération *indirecte* due à m_s

4: accélération *centrifuge* due à la rotation du système

5: accélération de *Coriolis* due à la rotation du système

NB. l'accélération de Coriolis ne dérive *pas* d'un potentiel, mais elle est quand même *conservative*

en terme de potentiel:

$$U_{\text{rot}} = -\frac{GM}{r} + Gm_s \left(\frac{r \cdot \vec{r}_s}{r_s^3} - \frac{1}{\Delta} \right) - n_s^2 r^2 / 2$$

donc, la quantité:

$$J = \frac{1}{2} v_{\text{rot}}^2 - \frac{GM}{r} + Gm_s \left(\frac{r \cdot \vec{r}_s}{r_s^3} - \frac{1}{\Delta} \right) - n_s^2 r^2 / 2$$

est conservée: c'est la *constante de Jacobi*

mais:

$\vec{v}_{\text{rot}} = \vec{v} + \vec{r} \times \vec{n}_s$ où \vec{v} est la vitesse de la particule dans le repère inertiel

et donc:
$$J = E - \vec{n}_s \cdot \vec{H} + Gm_s \left(\frac{\vec{r} \cdot \vec{r}_s}{r_s^3} - \frac{1}{\Delta} \right)$$

où E et \vec{H} sont l'énergie et le moment cinétique de la particule par rapport à la planète, *dans le repère inertiel*

J : constante de Jacobi, parfois appelée paramètre de *Tisserand*

NB. valide *uniquement* pour orbite satellite circulaire!
NB'. valide même si le problème n'est *pas* plan

$$\underset{\propto m_s}{\dot{J}} = \underset{\propto m_s}{\dot{E}} - \vec{n}_s \cdot \underset{\propto m_s}{\dot{H}} + Gm_s \frac{d}{dt} \left(\frac{\vec{r} \cdot \vec{r}_s}{r_s^3} - \frac{1}{\Delta} \right) = 0$$

en négligeant les termes du second ordre:

$$\dot{E} \approx n_s \dot{H}$$

mais:

$$\begin{cases} E = -\frac{GM}{2a} \\ H = \sqrt{GMa(1-e^2)} \end{cases}$$

en utilisant la 3ème loi de Kepler et $e \ll 1$:

$$\begin{cases} \frac{dE}{E} = -\frac{da}{a} \\ \frac{dH}{H} = \frac{da}{2a} + \frac{d(1-e^2)}{2(1-e^2)} \approx \frac{da}{2a} - \frac{d(e^2)}{2} \end{cases}$$

et:

$$\begin{cases} E = -(an)^2 / 2 \\ H \approx a^2 n \end{cases}$$

... et finalement, la constante de Jacobi (attention: problème **circulaire**) impose:

$$\frac{da}{a} \approx \frac{n_s}{n_s - n} d(e^2)$$

conséquences:

- les variations de a et e ne sont **pas** indépendantes
- si e est du **premier** ordre en m_s , alors da est du **second** ordre en m_s .

expression de la constante de Jacobi autour d'une résonance.
Soit:

$$\Delta n \equiv (m + 1)n_s - mn - \dot{\varpi} \approx (m + 1)n_s - mn$$

la distance à la résonance, alors:

$$d\Delta n \approx -m \cdot dn$$

$$3 \frac{da}{a} + 2 \frac{dn}{n} = 0 \quad (3\text{ème loi de Kepler})$$

et donc:
$$\frac{da}{a} \approx \frac{2}{3m} \cdot \frac{d(\Delta n)}{n}$$

$$\frac{da}{a} \approx \frac{n_s}{n_s - n} d(e^2) \approx -md(e^2)$$

devient finalement:

$$2\Delta n + 3m^2 ne^2 = \text{cste}$$

version "locale" de la constante de Jacobi

exercice: montrer que ceci est équivalent à (cf. chapitre précédent):

$$\frac{\Delta a}{a_0} + me^2 = \text{constante}$$

$$\left\{ \begin{array}{l} \dot{h} = -\Delta n \cdot k \\ \dot{k} = +\Delta n \cdot h + \epsilon' n_0 \\ \text{avec } J_c = 2\Delta n + 3m^2 n e^2 = \text{constante} \end{array} \right.$$

qui décrit un système à **un** degré de liberté, donc intégrable

NB. le portrait de phase des solutions est donc paramétrisé par la valeur de la constante de Jacobi J_c :

à chaque valeur, un portrait de phase différent

→ comment retrouver les portraits de phase ?

On peut montrer (exercice) que le système ci-dessus admet l'intégrale :

$$K = e^4 - \frac{2J_c}{3m^2 n_0} e^2 - \frac{8\epsilon'}{3m^2} \cdot h$$

calcul des trajectoires compliqué, mais interprétation géométrique simple :

$$e^4 - \frac{2J_c}{3m^2 n_0} e^2 = K + \frac{8\epsilon'}{3m^2} \cdot h$$

dont la solution est la projection dans le plan (h, k) de deux surfaces S_1 et S_2 dans l'espace (h, k, z) , où :

$$\left\{ \begin{array}{l} z(h, k) = e^4 - \frac{2J_c}{3m^2 n_0} e^2 \rightarrow \text{surface } S_1 \\ z(h, k) = K + \frac{8\epsilon'}{3m^2} \cdot h \rightarrow \text{surface } S_2 \end{array} \right.$$

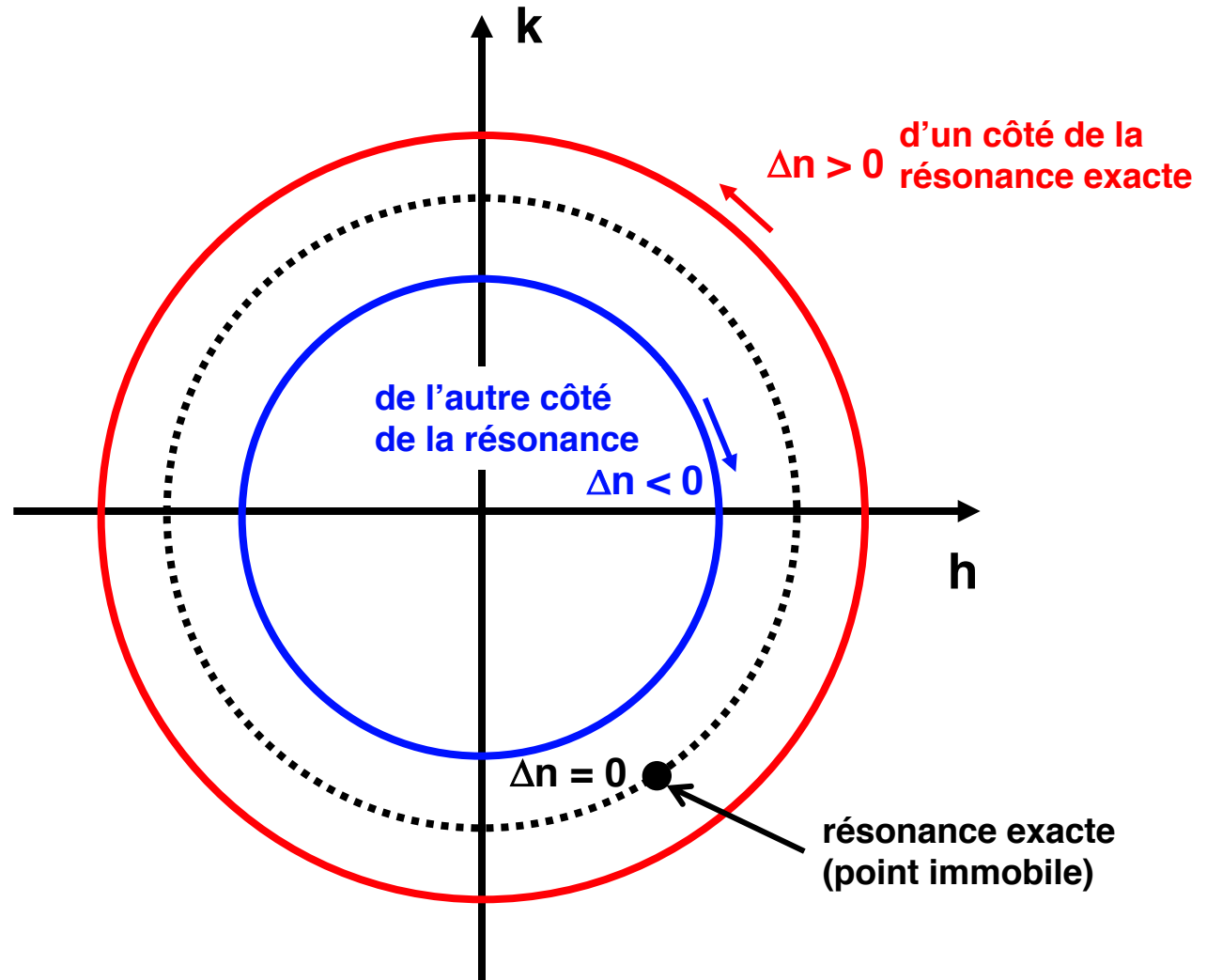
surface S_1 : “bol” ou “chapeau mexicain” selon signe de J_c

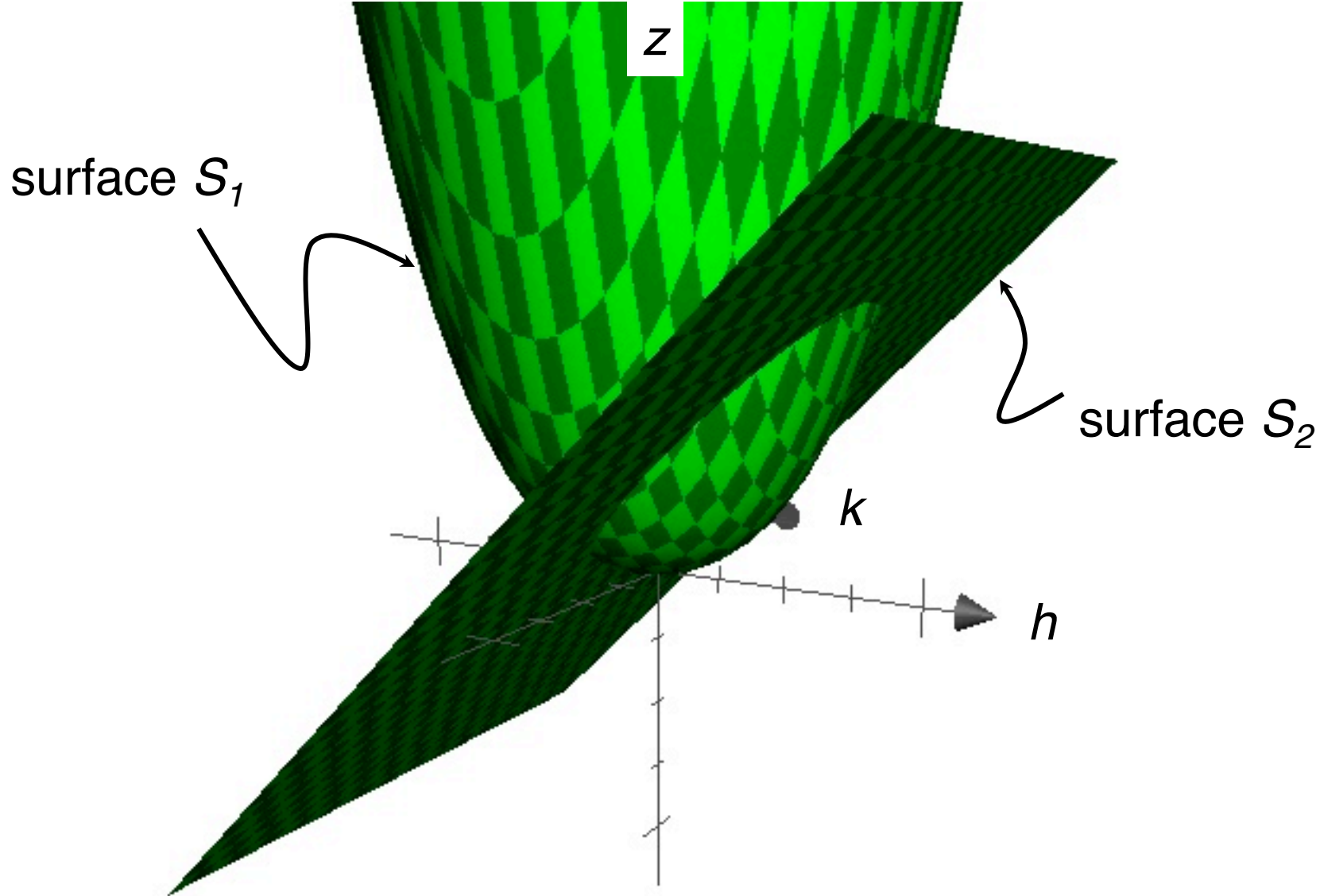
surface S_2 : plan parallèle à l'axe Ok

En résumé : à **chaque** valeur de J_c correspond une famille de solutions (un portrait de phase), chaque solution étant associée à **une valeur de K** .

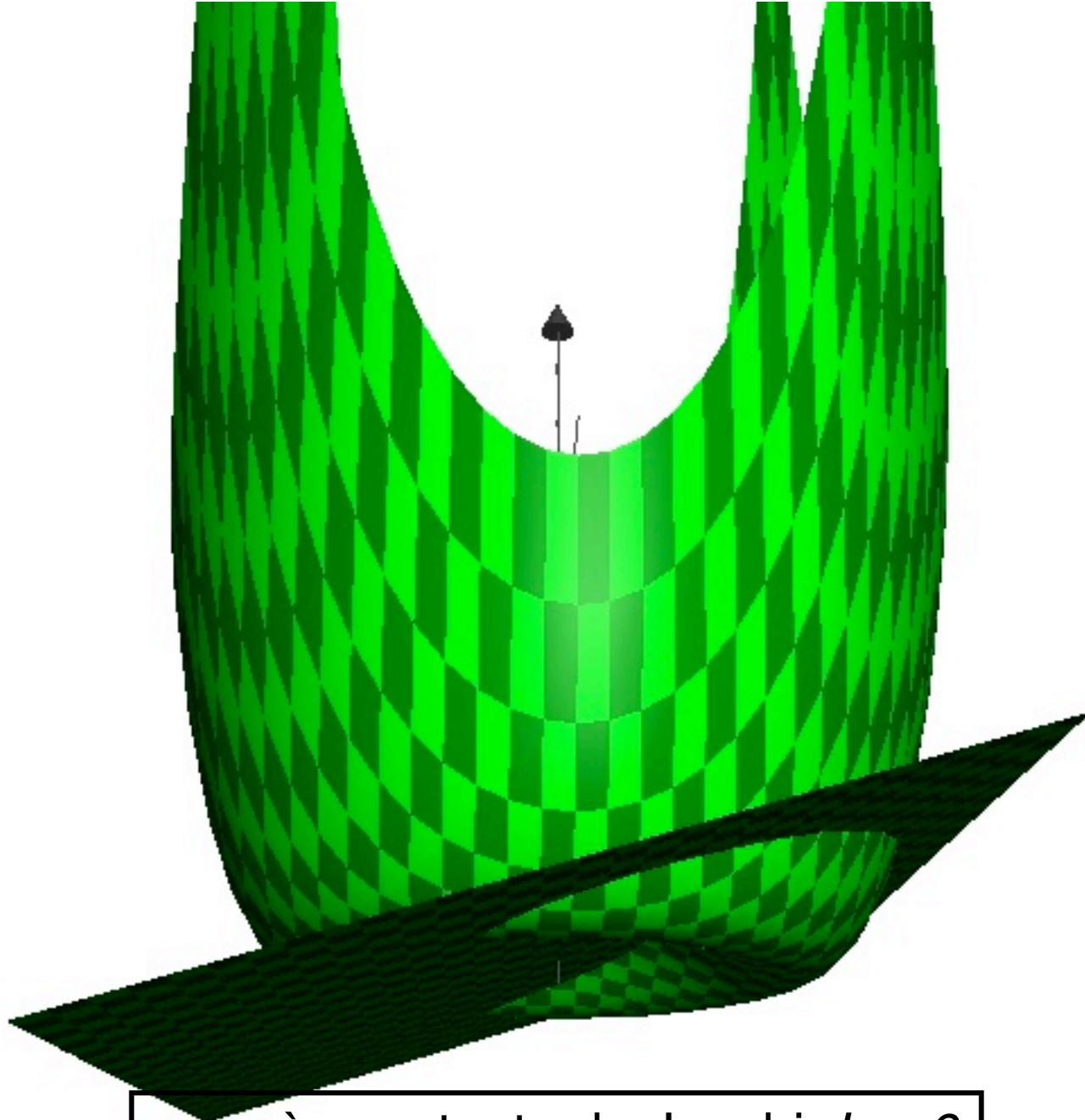
Question, comment le portrait de résonance trivial $\varepsilon' = 0$ (aucune perturbation) est-il transformé avec $\varepsilon' \neq 0$

$$\begin{cases} \dot{h} = -\Delta n \cdot k \\ \dot{k} = +\Delta n \cdot h \end{cases}$$

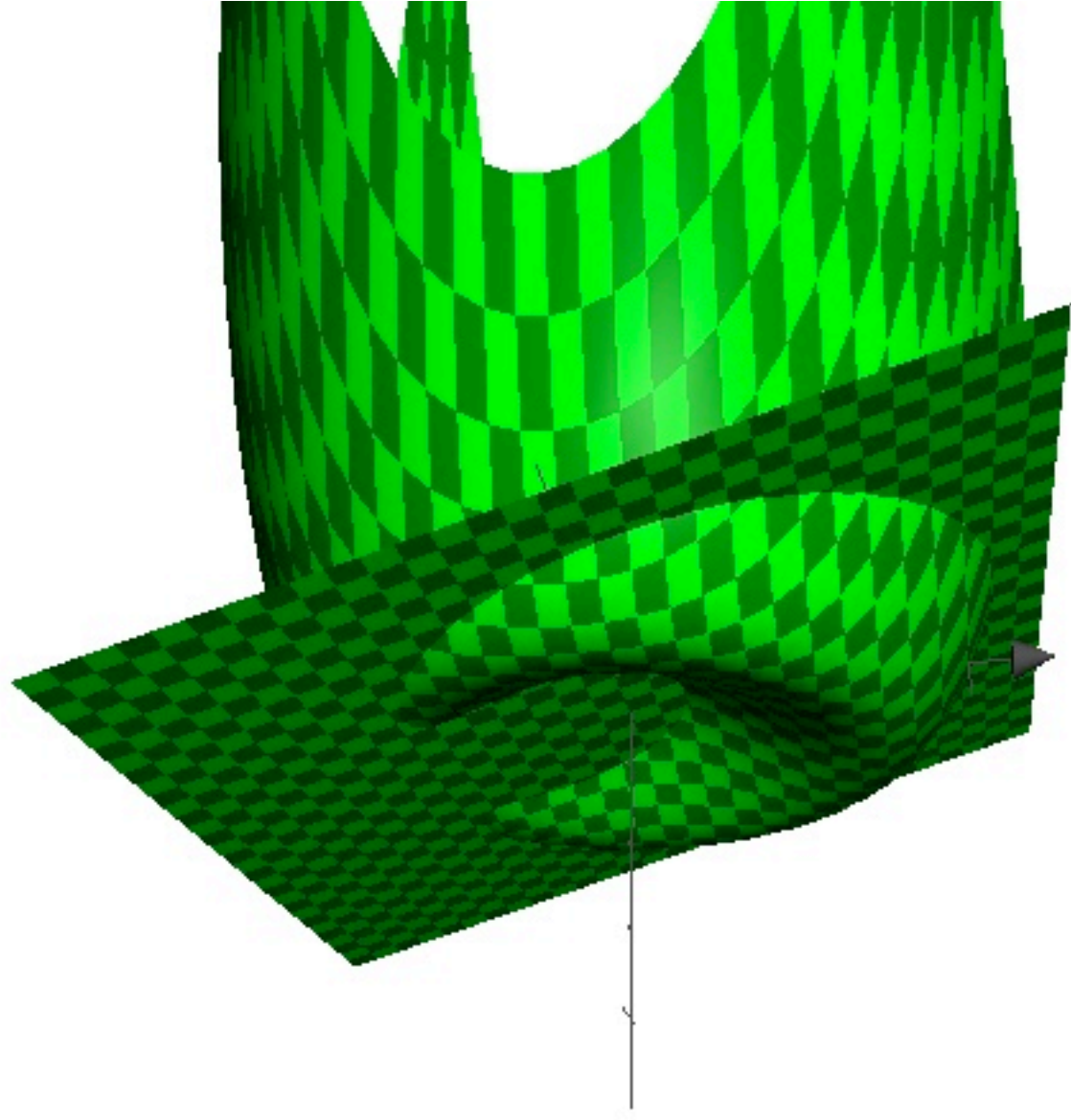


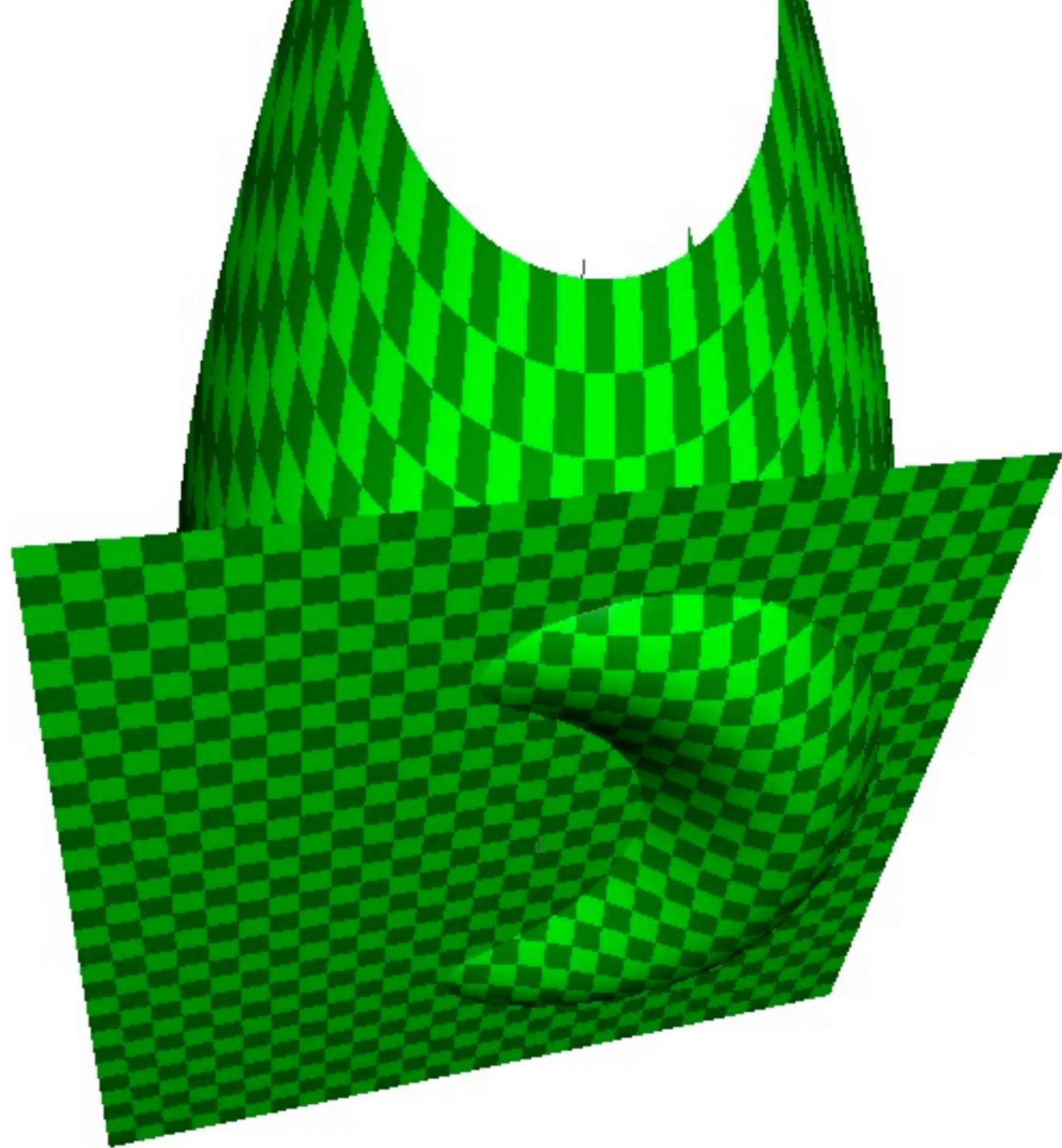


cas où constante de Jacobi $J_c < 0$



cas où constante de Jacobi $J_c > 0$





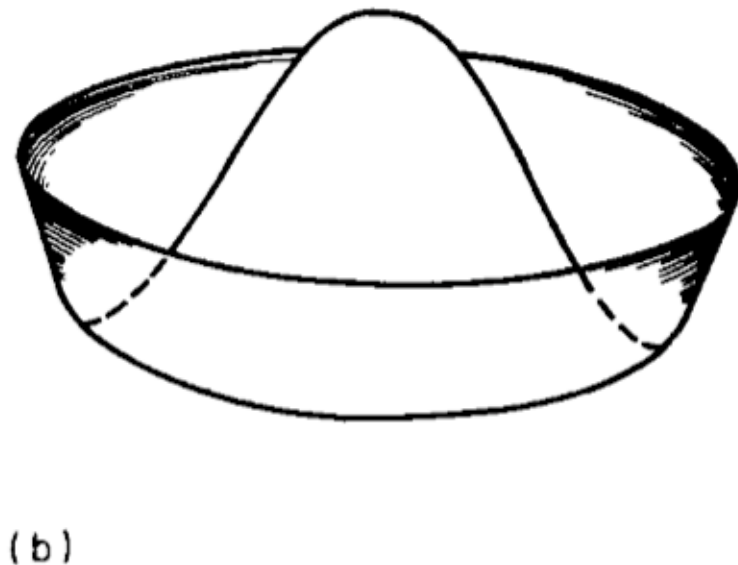
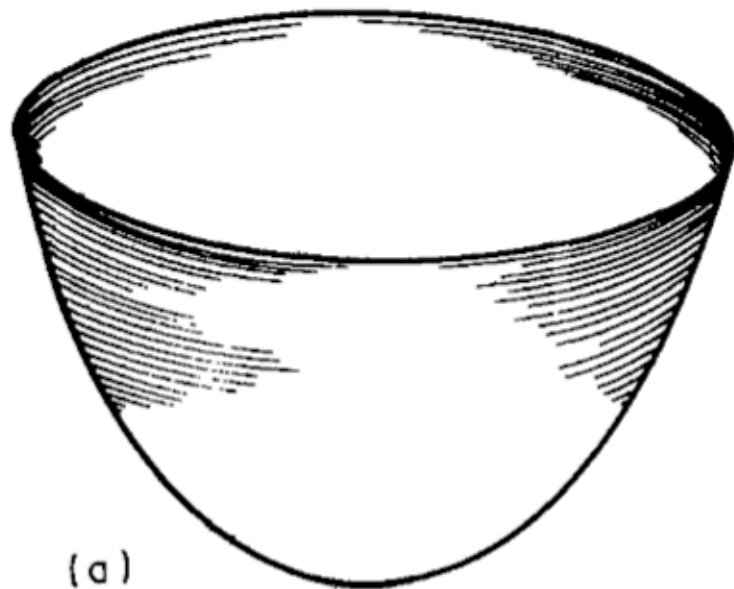


Fig. 1. The unperturbed Hamiltonian $F_0(k, h)$.

(a) $\omega^0 > 0$, (b) $\omega^0 < 0$ (in both cases $n^0 > 0$).

tiré de S. Ferraz-Mello ("Resonances in regular variables I: Morphogenetic analysis of the orbits in the case of a first order resonance", *Celestial Mechanics* **35**, 209-220, 1985)

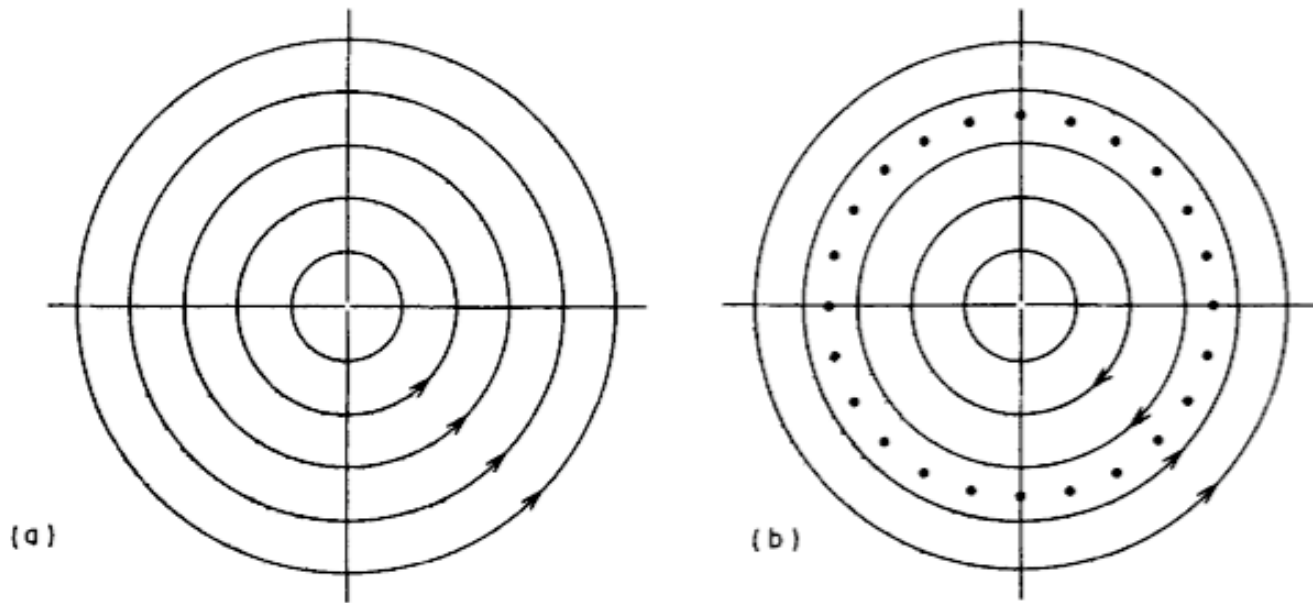


Fig. 2. Orbits defined by the unperturbed Hamiltonian in the plane (k, h) .
The dots represent a continuous sequence of equilibrium solutions.

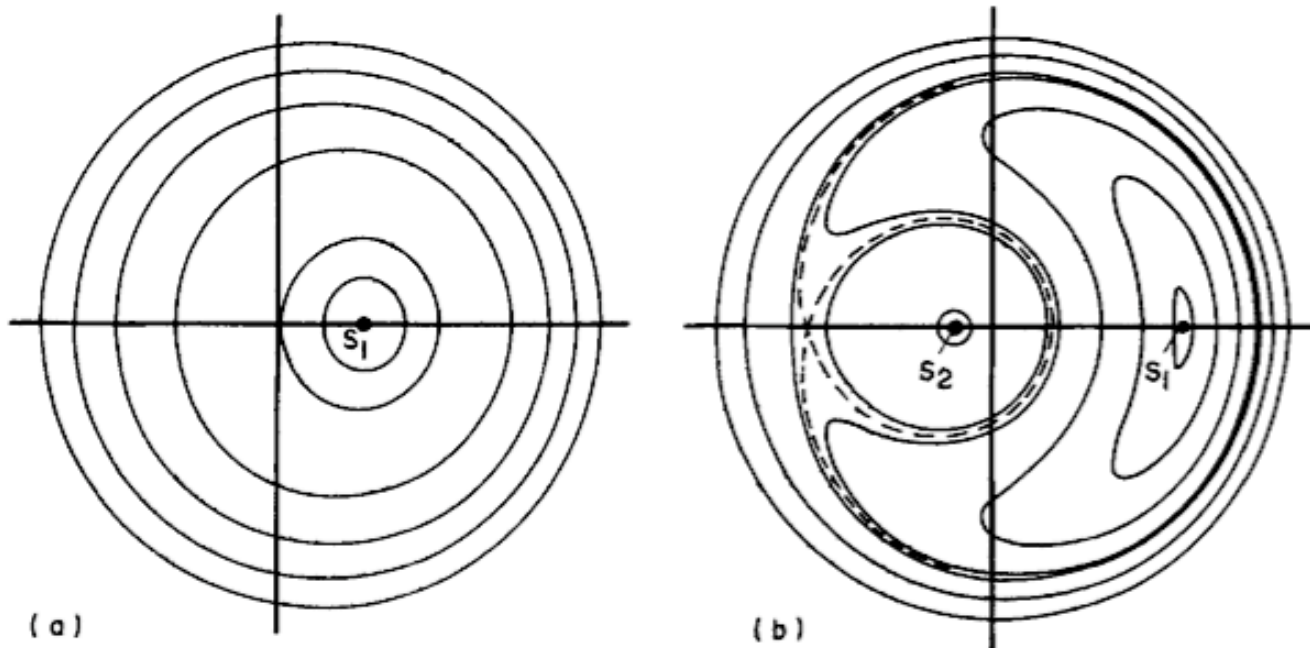


Fig. 3. Orbits defined by the perturbed Hamiltonian in the plane (k, h) .

résumé de la situation

on considère le pb *restreint plan* (3ème corps de masse nulle) →

pb à *deux degrés* de liberté *non autonome* (dépend du temps)

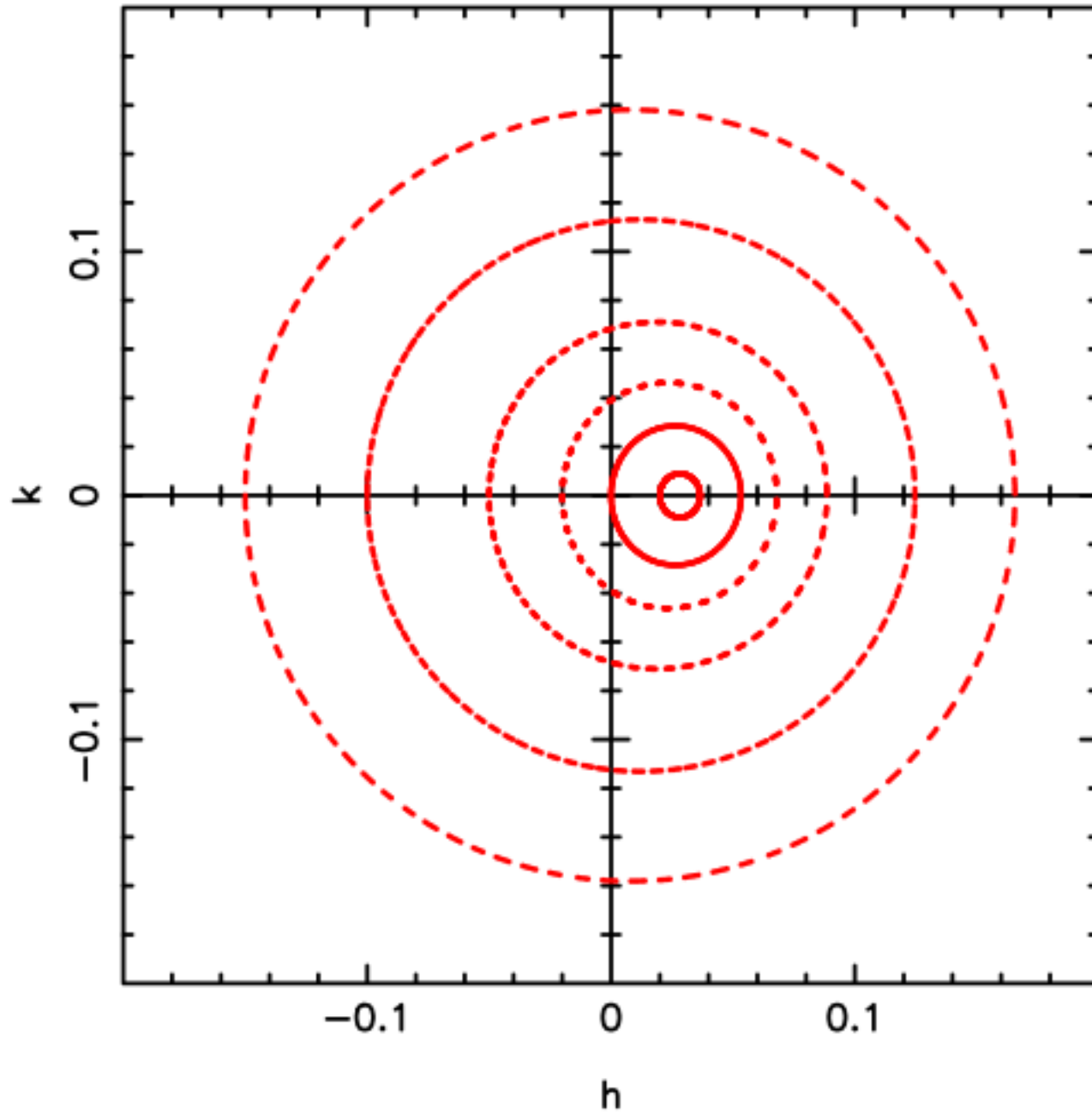
de plus, si le pb est *circulaire* (perturbateur sur orbite circulaire parcourue à vitesse uniforme) → l'énergie dans le repère tournant est conservée → *constante de Jacobi* J_C (en plus du hamiltonien) →

le pb est *intégrable* (deux degrés de liberté, deux intégrales)

$$\left\{ \begin{array}{l} \dot{h} = -\Delta n \cdot k \\ \dot{k} = +\Delta n \cdot h + \epsilon' n_0 \\ \text{avec } J_C = 2\Delta n + 3m^2 n e^2 = \text{constante} \end{array} \right.$$

pour *chaque* valeur de J_C , on obtient un portrait de phase où *chaque* trajectoire de (h,k) correspond à une valeur différente (énergie) du hamiltonien

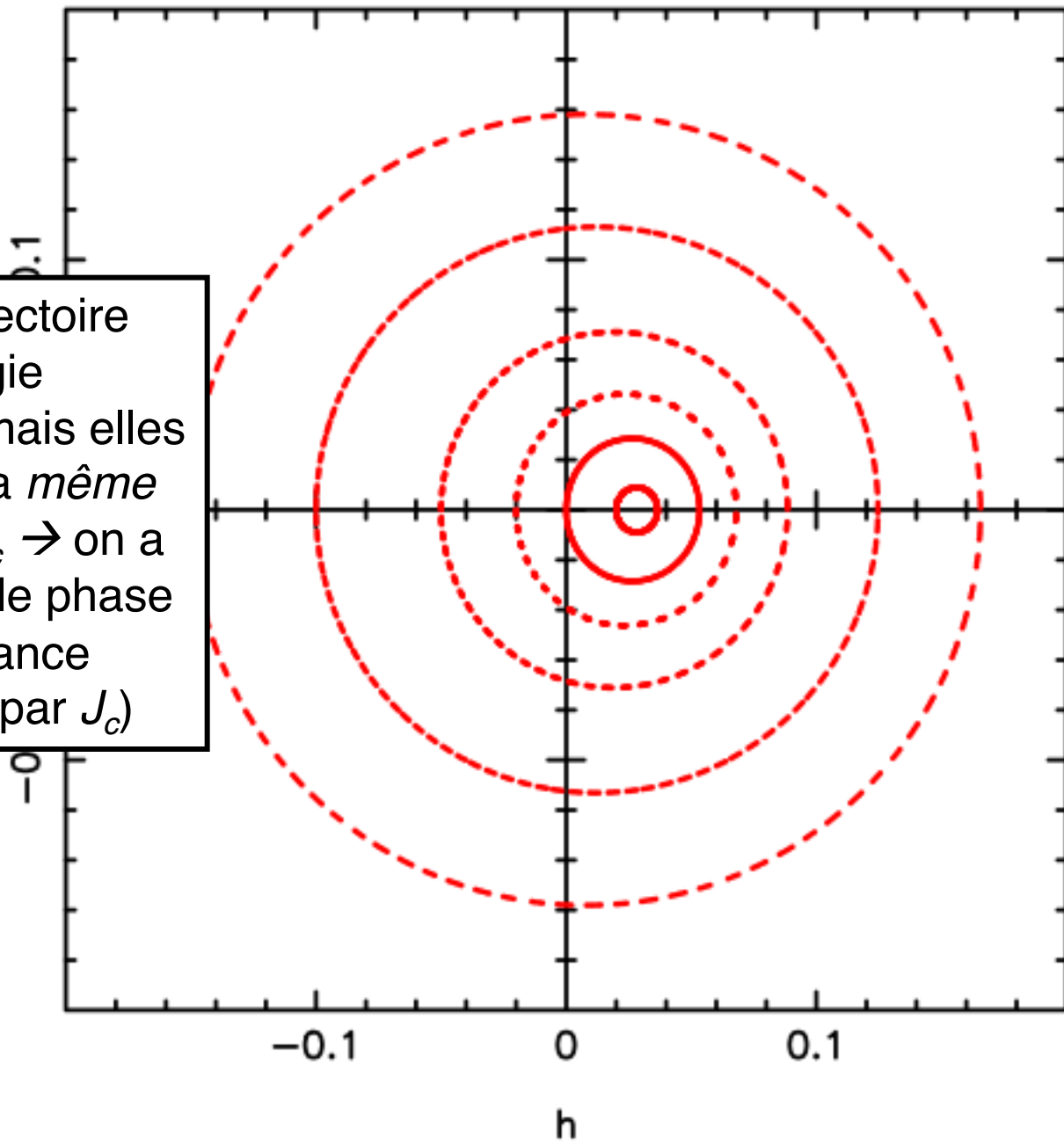
Delaunay $\epsilon=0.00039$ $J=-0.0500$ $m=1$



astéroïde de
masse nulle
(pb restreint) en
résonance 2:1
avec Jupiter, de
masse $m_s = 0.00$
(relative au Sole

$$J_C = -0.05$$

Delaunay $\epsilon=0.00039$ $J=-0.0500$ $m=1$

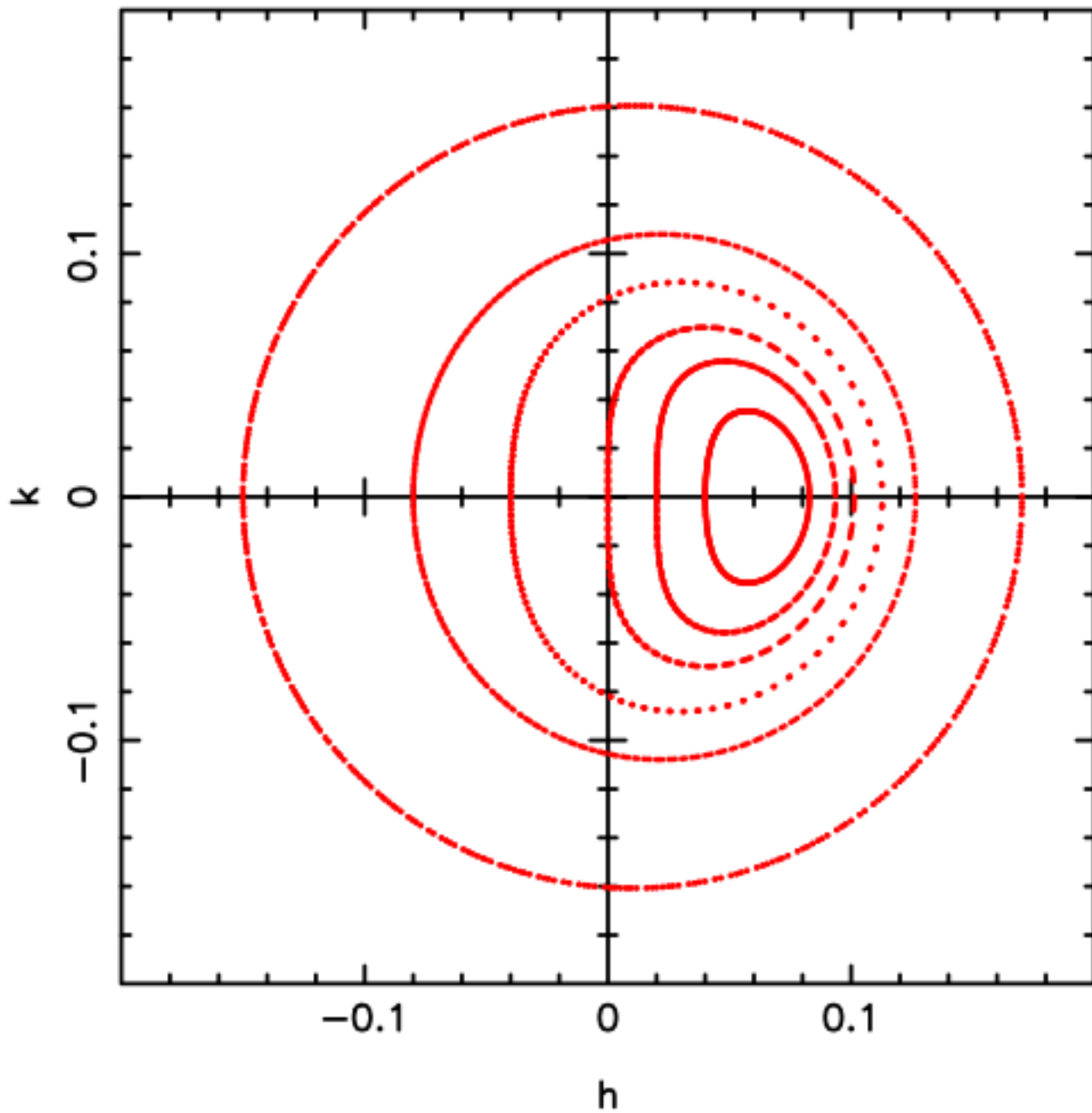


chaque trajectoire à une énergie différente, mais elles ont toutes la *même* valeur de $J_c \rightarrow$ on a *un* portrait de phase de la résonance (paramétré par J_c)

astéroïde de masse nulle (pb restreint) en résonance 2:1 avec Jupiter, de masse $m_s = 0.00$ (relative au Soleil)

$J_c = -0.05$

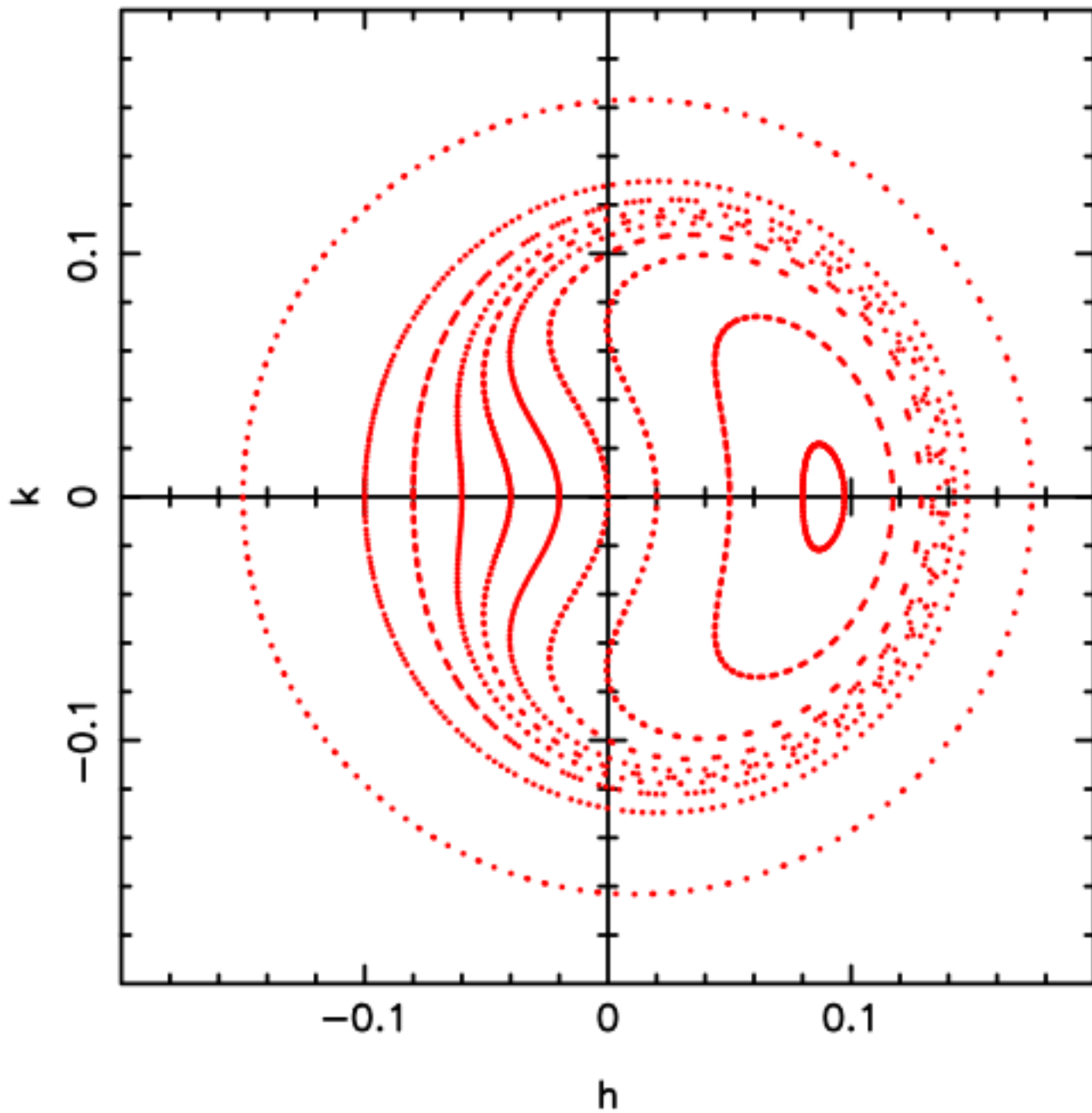
Delaunay $\epsilon=0.00039$ $J=0.0000$ $m=1$



astéroïde de
masse nulle
(pb restreint) en
résonance 2:1
avec Jupiter, de
masse $m_s = 0.00$
(relative au Soleil)

$J_C = 0$

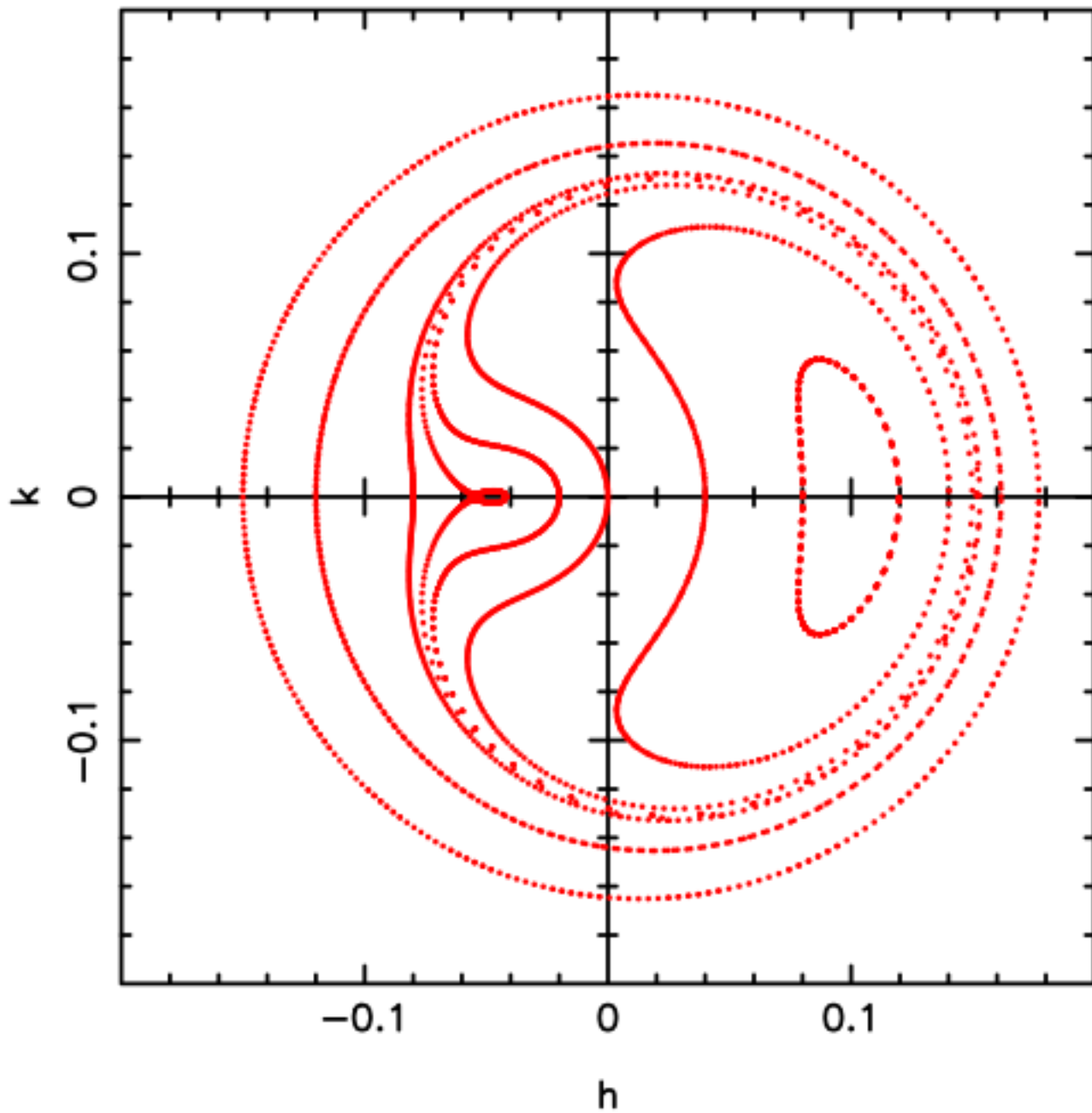
Delaunay $\epsilon=0.00039$ $J=0.03$ $m=1$



astéroïde de
masse nulle
(pb restreint) en
résonance 2:1
avec Jupiter, de
masse $m_s = 0.00$
(relative au Soleil)

$J_C = +0.03$

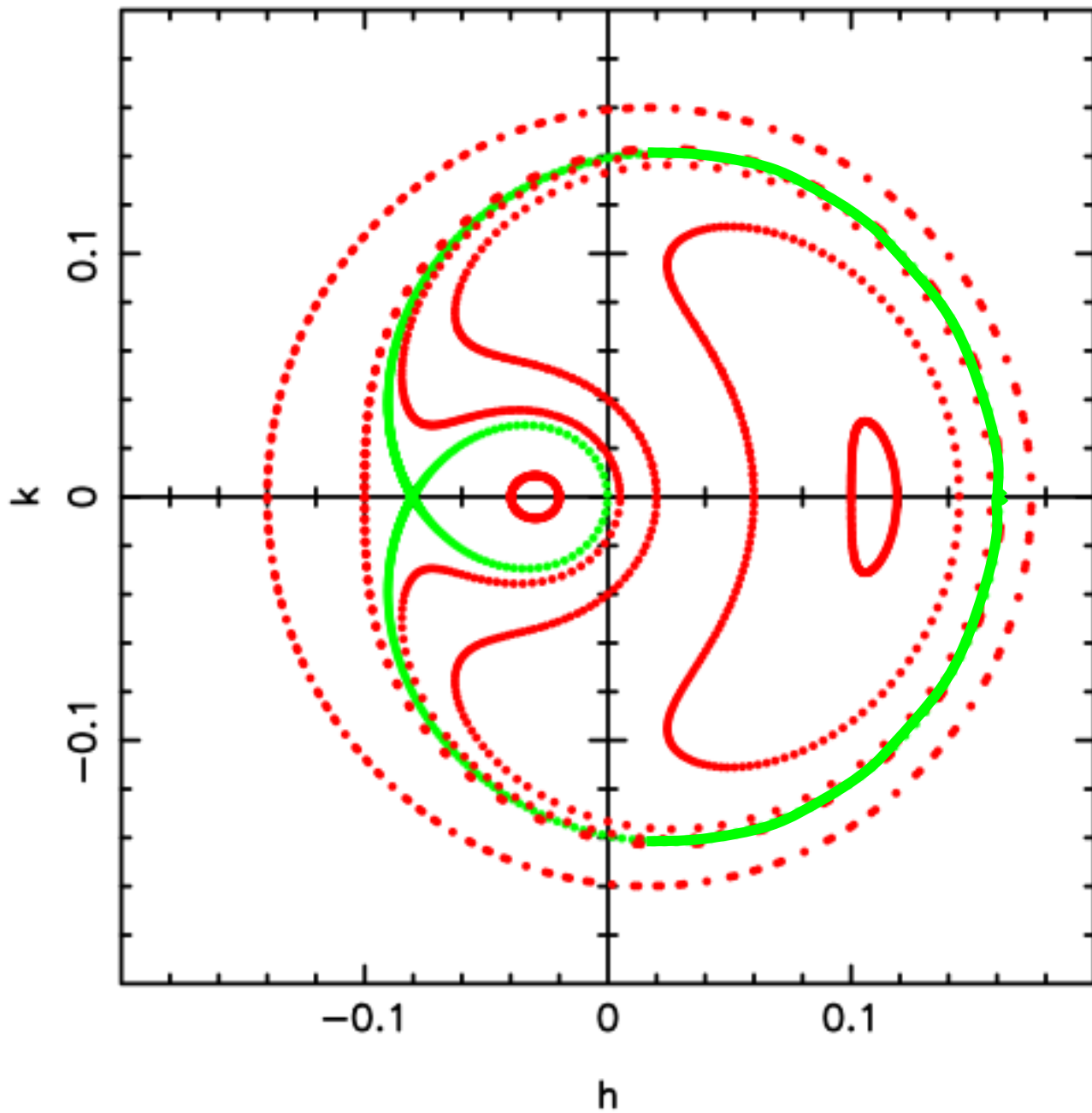
Delaunay $\epsilon=0.00039$ $J=0.0465$ $m=1$



astéroïde de
masse nulle
(pb restreint) en
résonance 2:1
avec Jupiter, de
masse $m_s = 0.00$
(relative au Soleil)

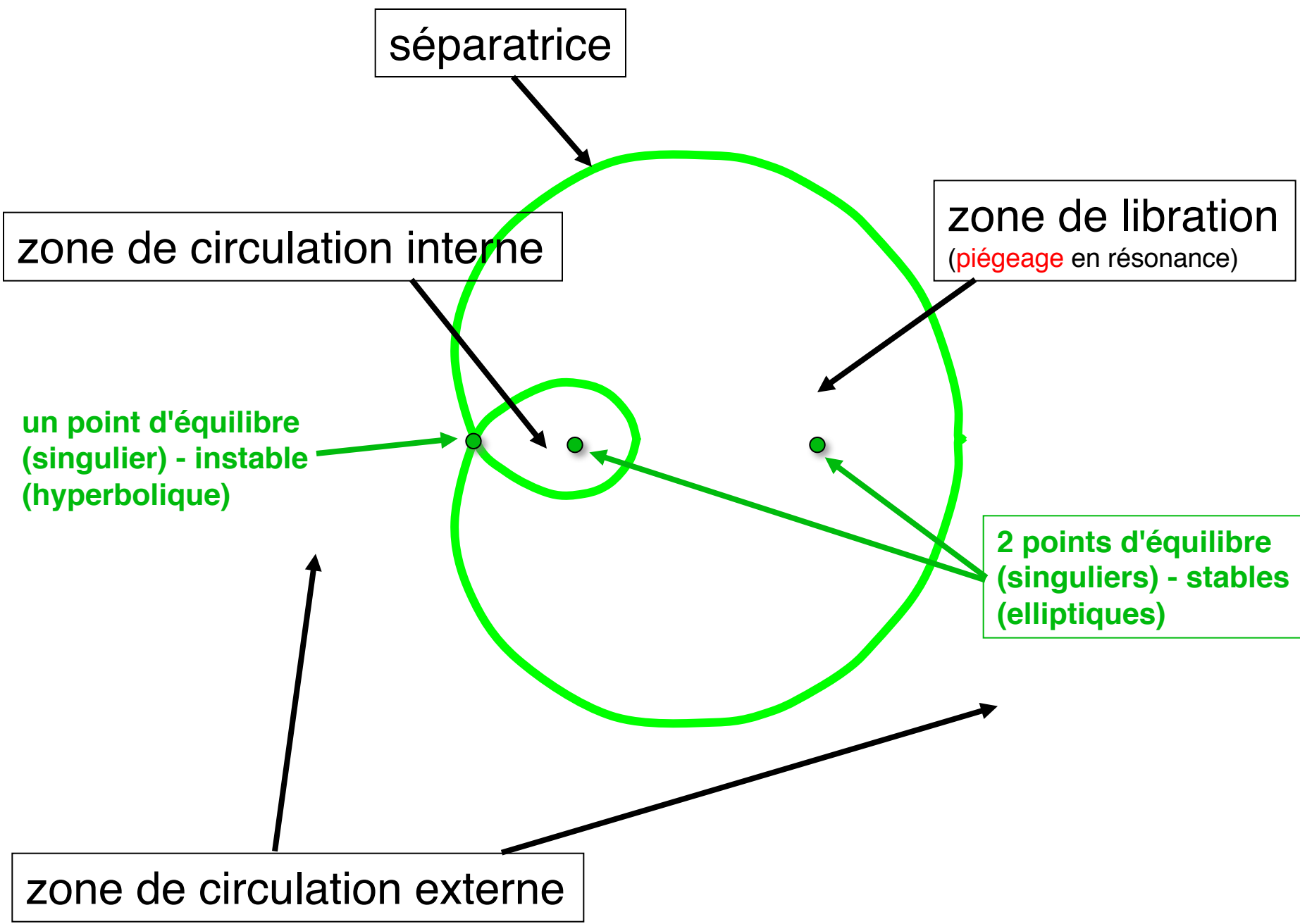
$J_C = +0.0465$

Delaunay $\epsilon=0.00039$ $J=0.0581$ $m=1$



astéroïde de
masse nulle
(pb restreint) en
résonance 2:1
avec Jupiter, de
masse $m_s = 0.00$
(relative au Soleil)

$J_C = +0.0581$



séparatrice

zone de circulation interne

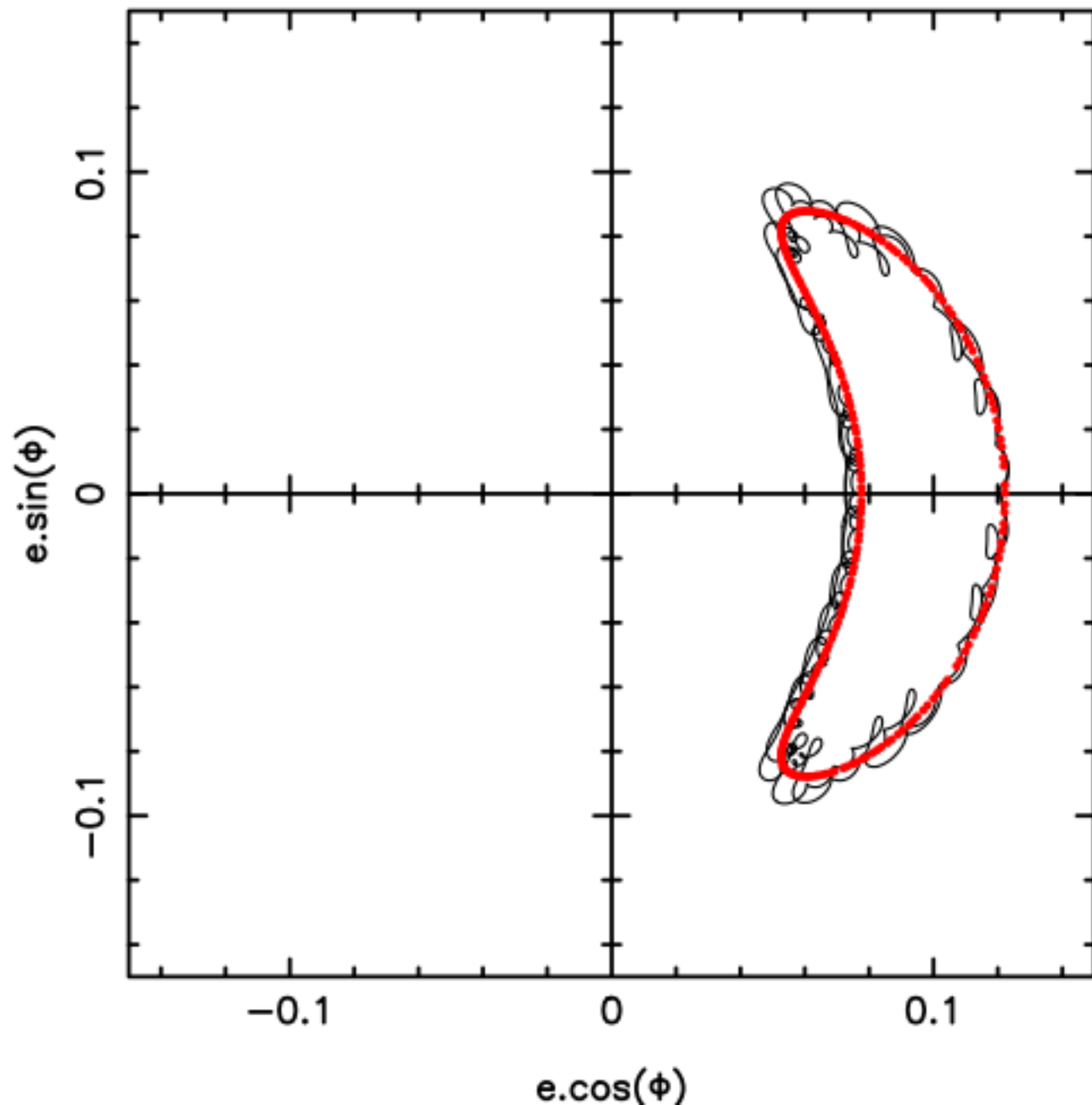
zone de libration
(piégeage en résonance)

un point d'équilibre
(singulier) - instable
(hyperbolique)

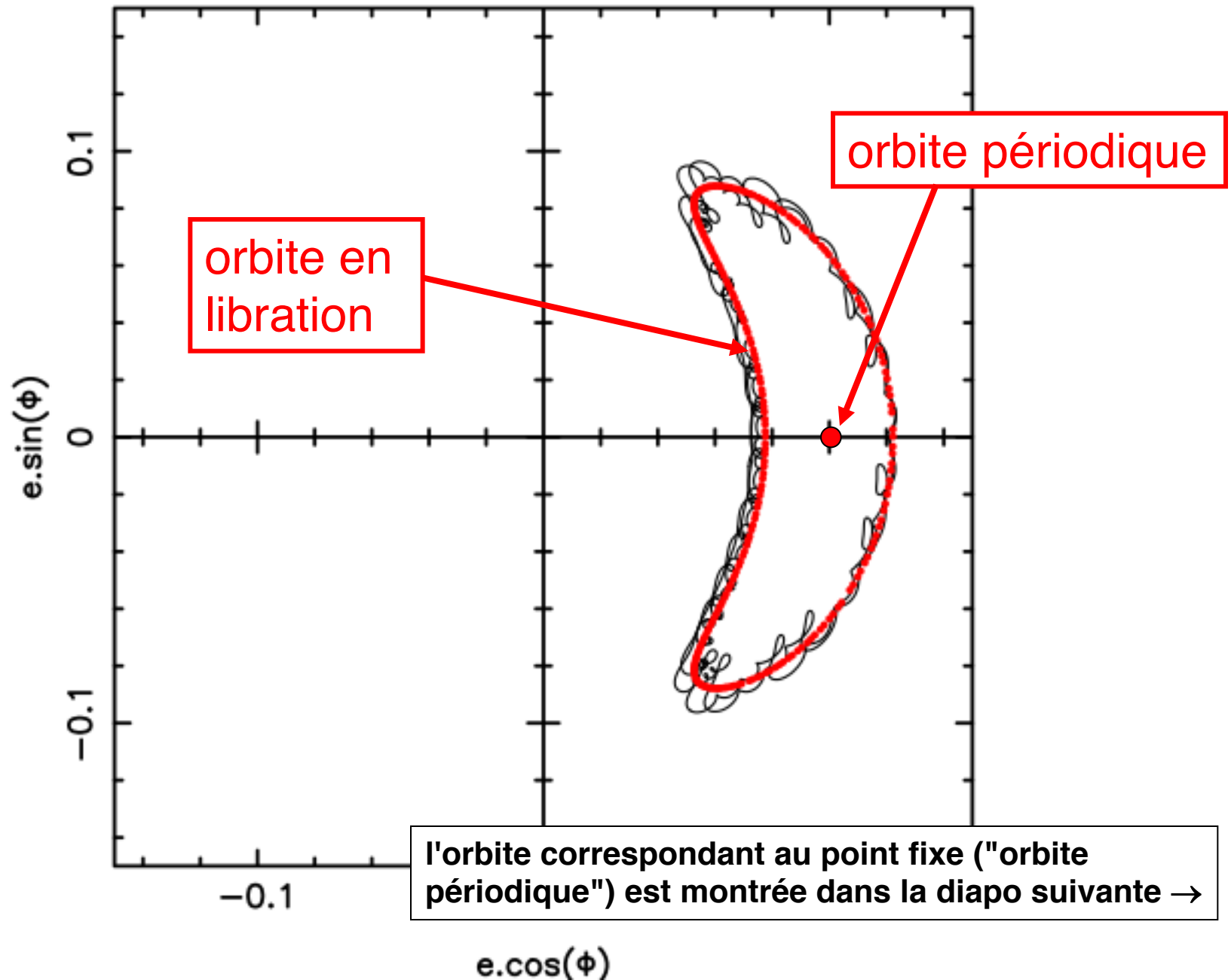
2 points d'équilibre
(singuliers) - stables
(elliptiques)

zone de circulation externe

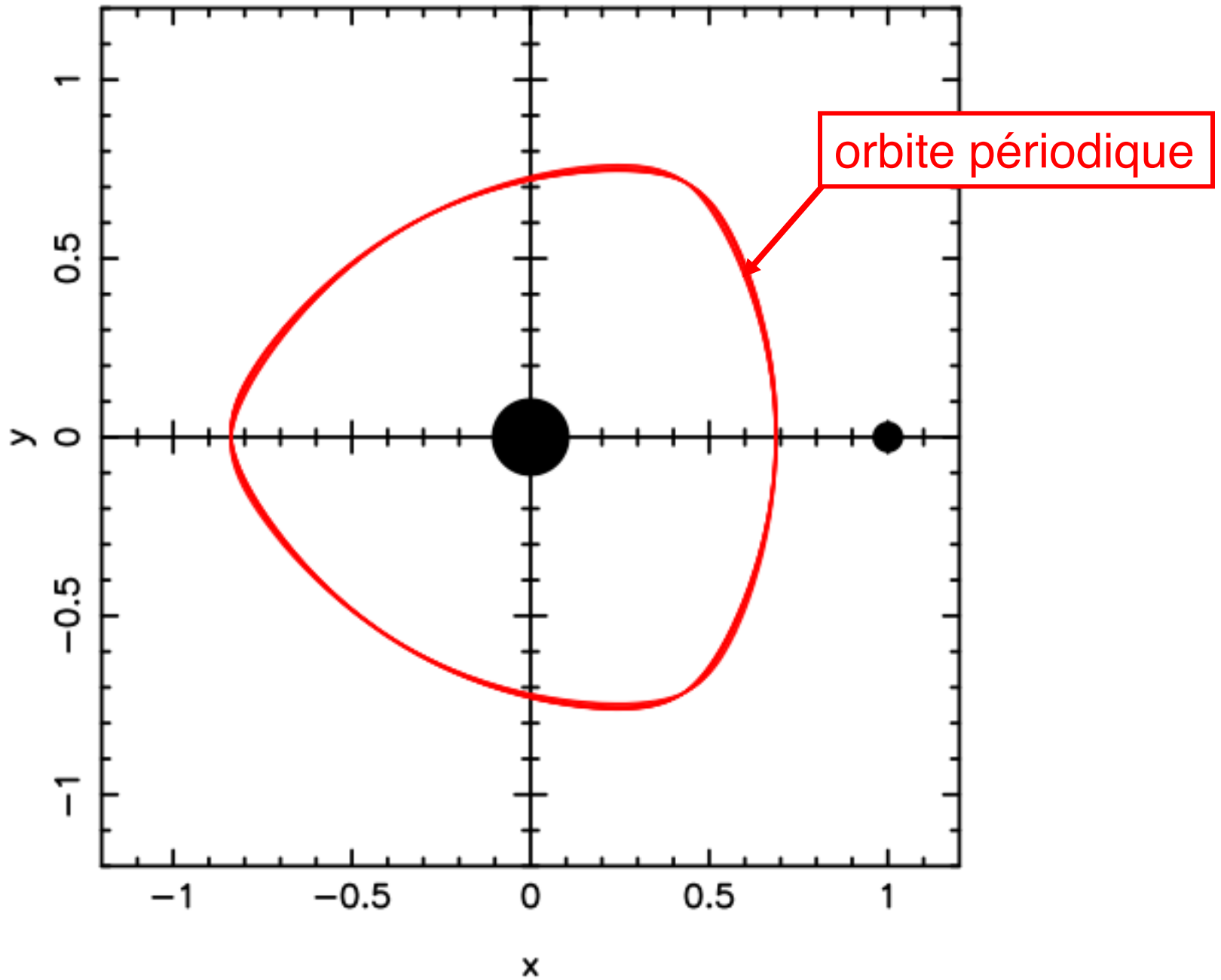
$m_s=0.001$, $J=-1.52512540960337$, $n/n_s=3:2$



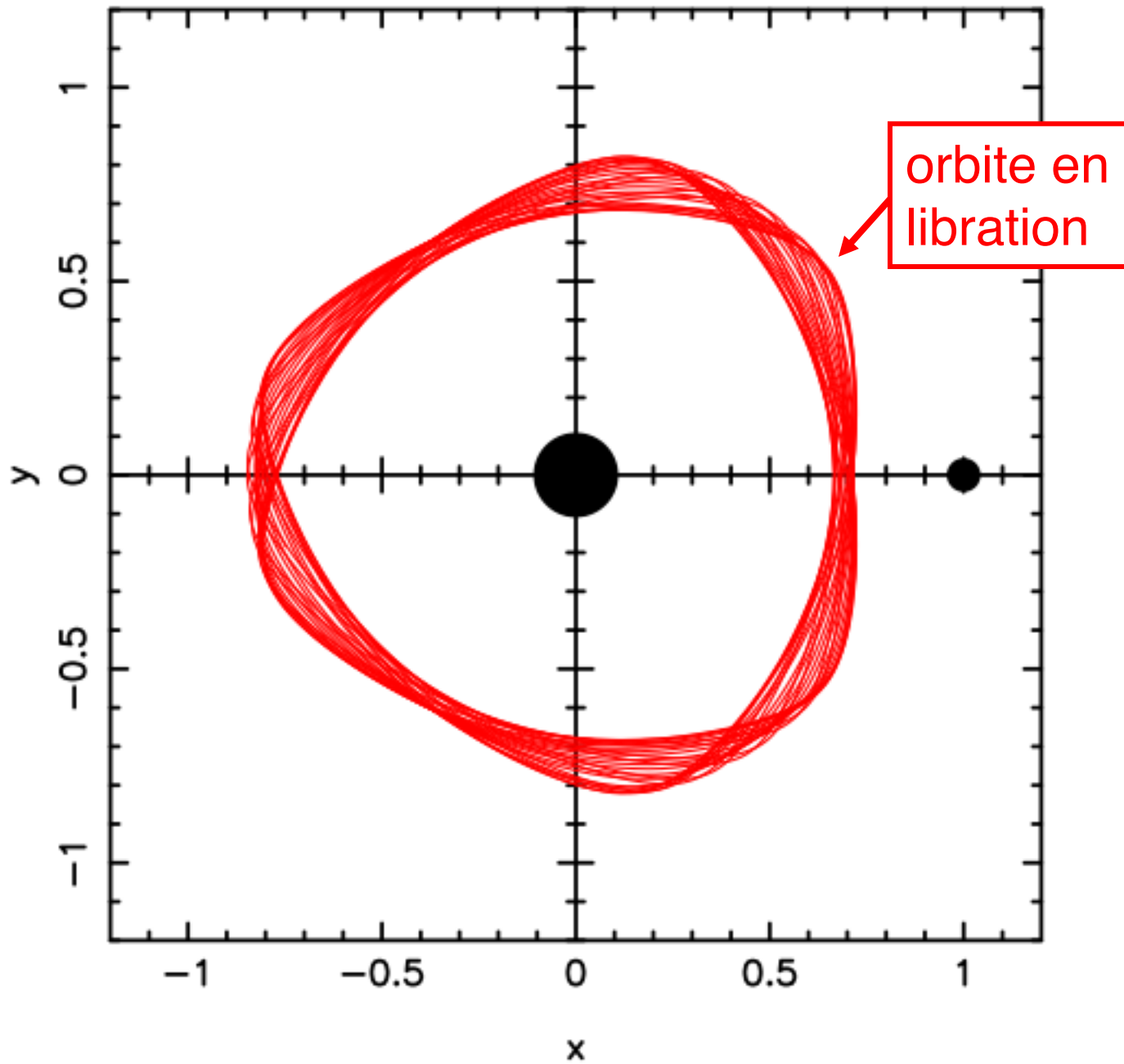
$$m_{\text{sat}}=0, m_s=0.001, J=-1.52512540960337, n/n_s= 3:2$$



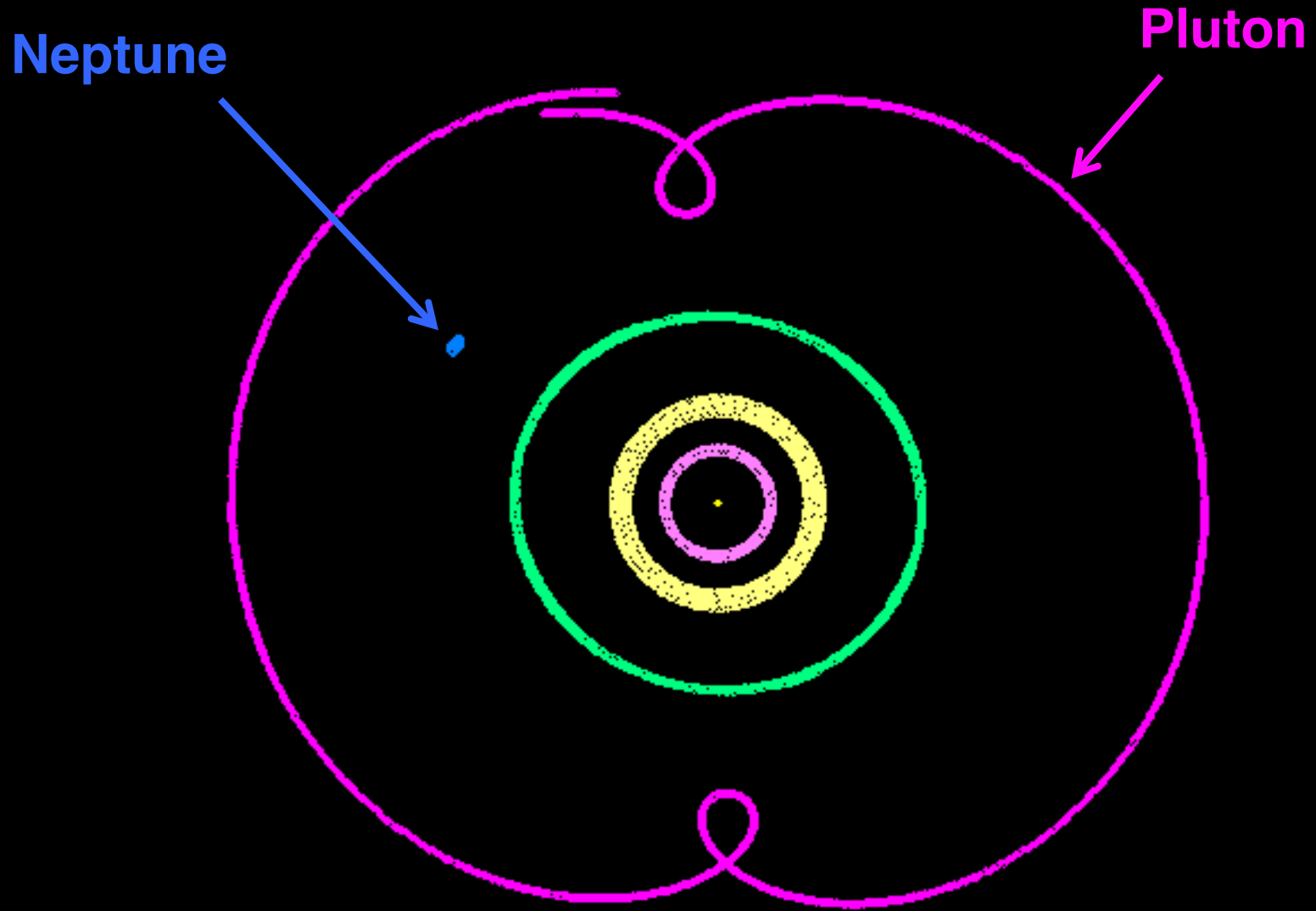
$m_{\text{sat}}=0$, $m_s=0.001$, $J=-1.52512540960337$, $n/n_s=3:2$



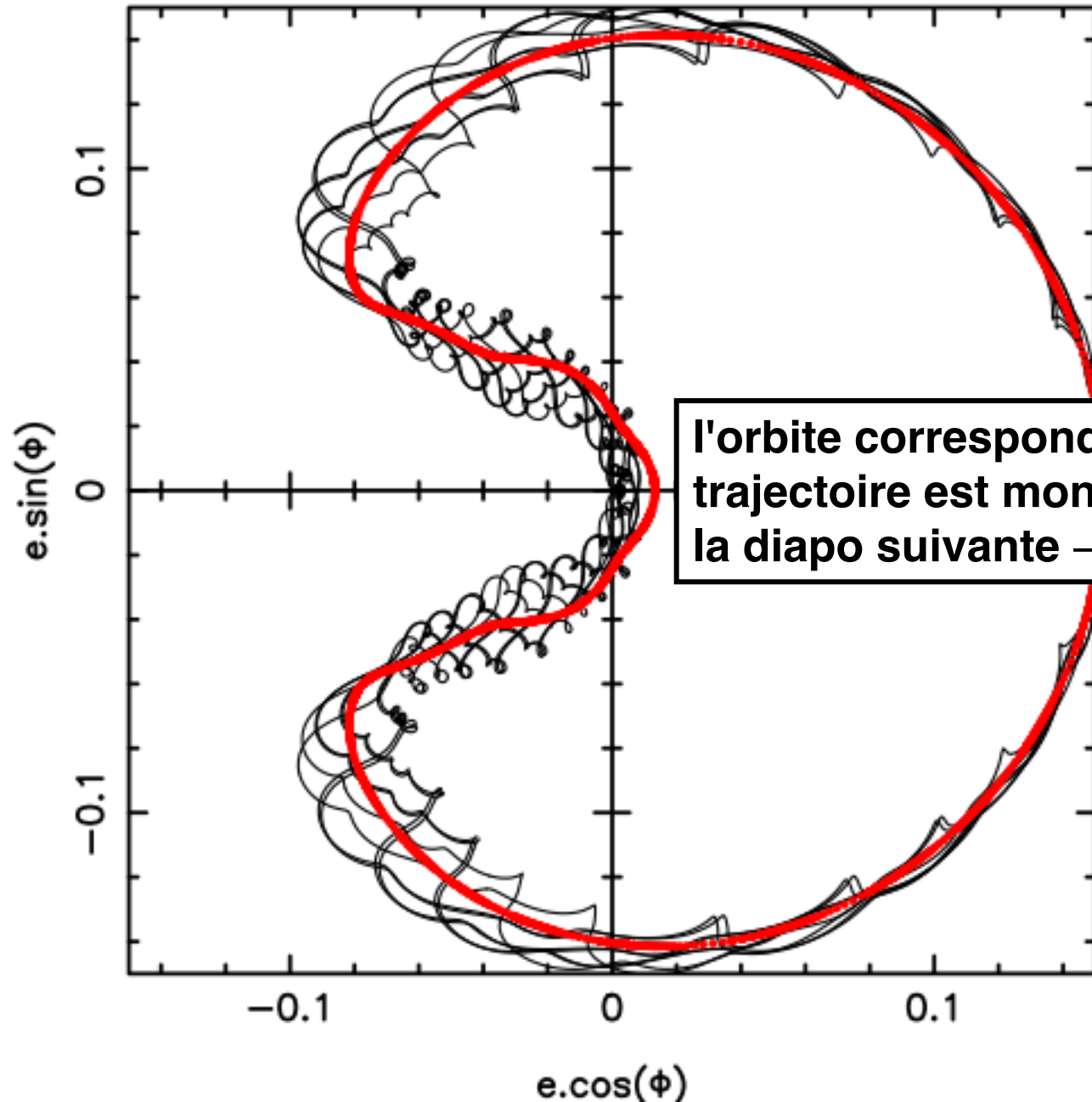
$m_{\text{sat}}=0$, $m_s=0.001$, $J=-1.52512540960337$, $n/n_s=3:2$



« mécanisme de protection »

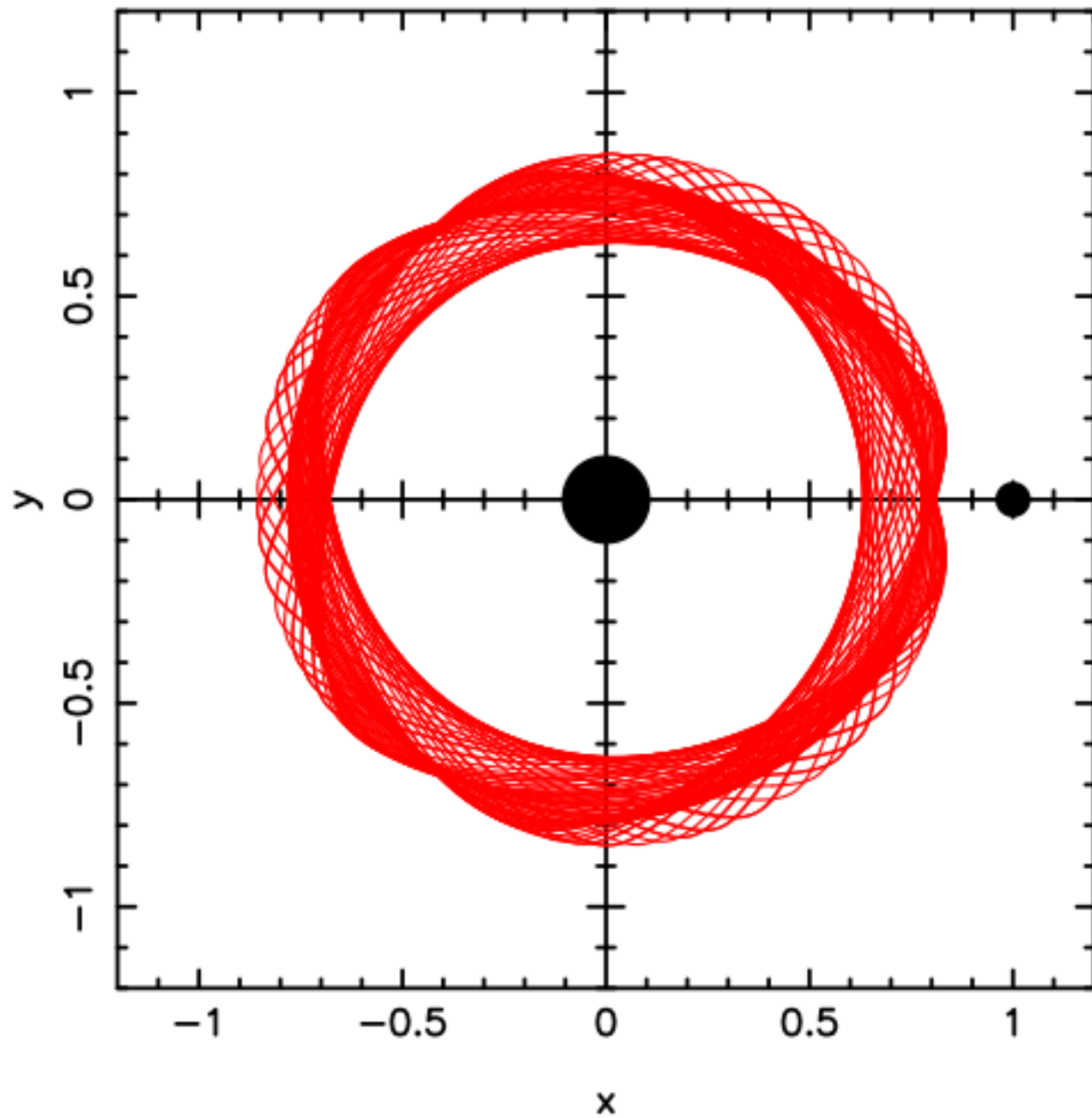


$m_{\text{sat}}=0$, $m_s=0.001$, $J=-1.52512540960337$, $n/n_s=3:2$

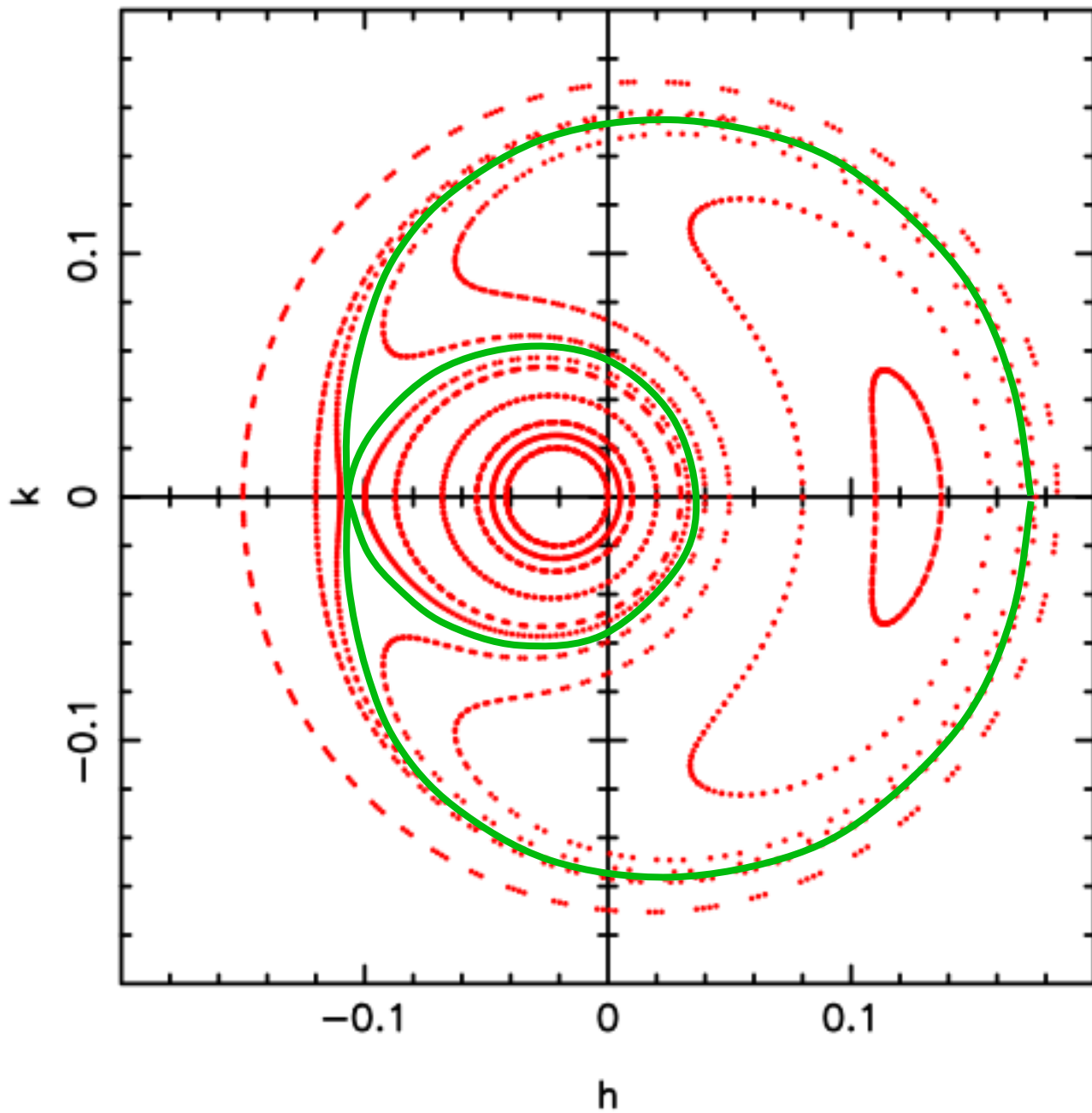


l'orbite correspondant à cette trajectoire est montrée dans la diapo suivante →

$m_{\text{sat}}=0$, $m_s=0.001$, $J=-1.52512540960337$, $n/n_s=3:2$

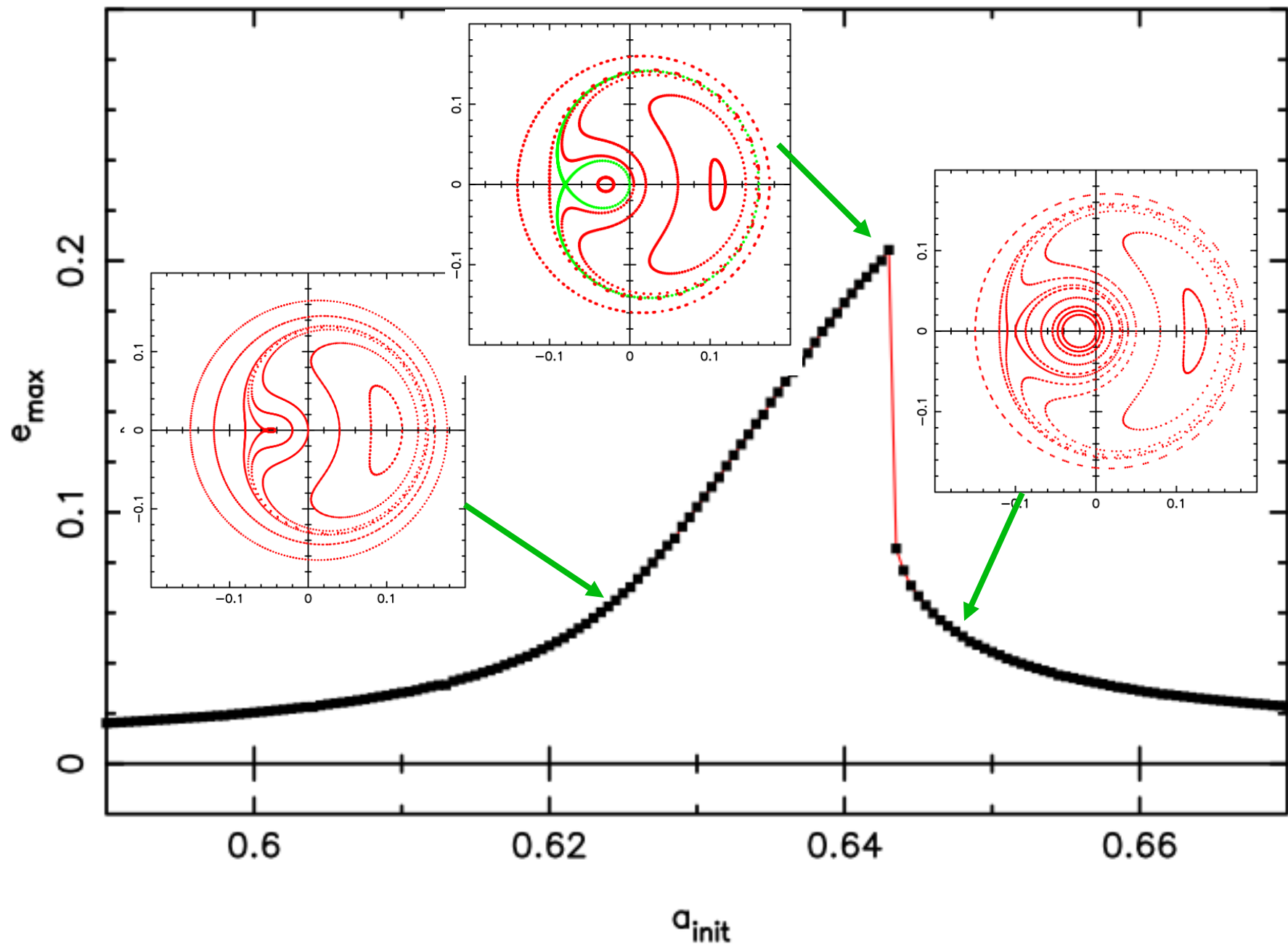


Delaunay $\epsilon=0.00039$ $J= 0.0800$ $m=1$

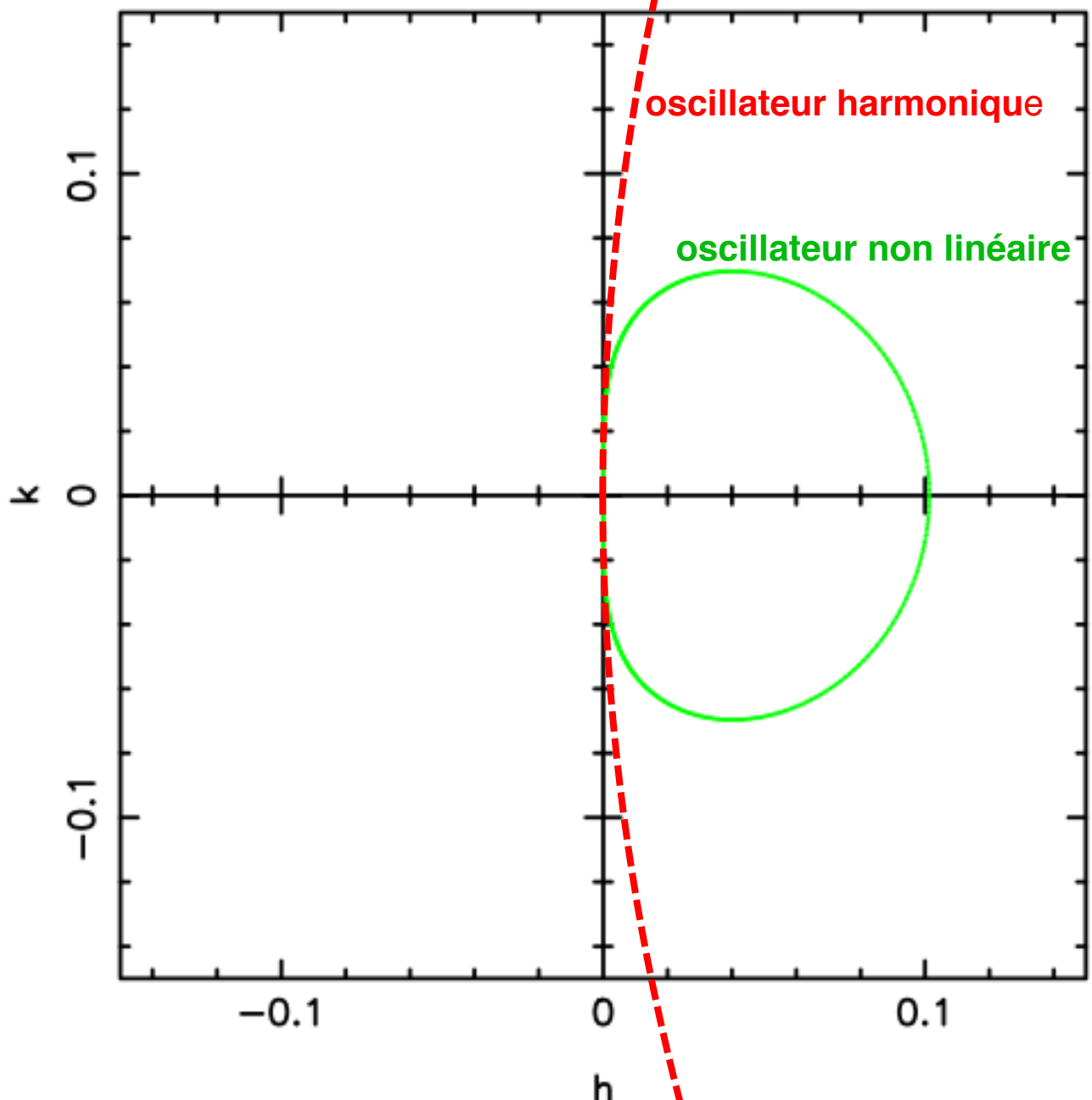


astéroïde de
masse nulle
(pb restreint) en
résonance 2:1
avec Jupiter, de
masse $m_s = 0.00$
(relative au Soleil)

$J_C = +0.08$



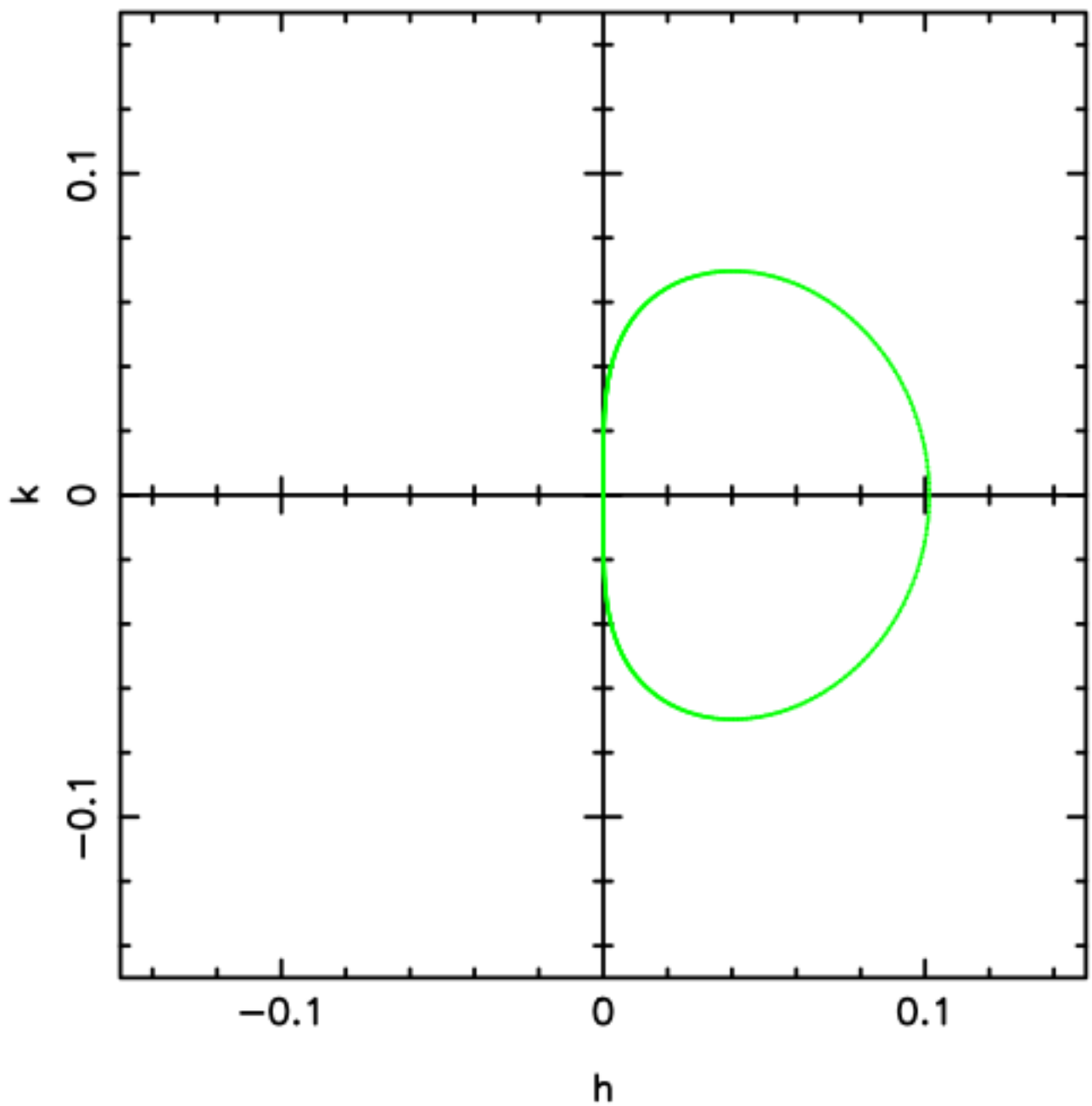
Delaunay $\epsilon=0.00039$, $J= 0$, reel $m_s=0.001$ $J= -1.58894836397564$



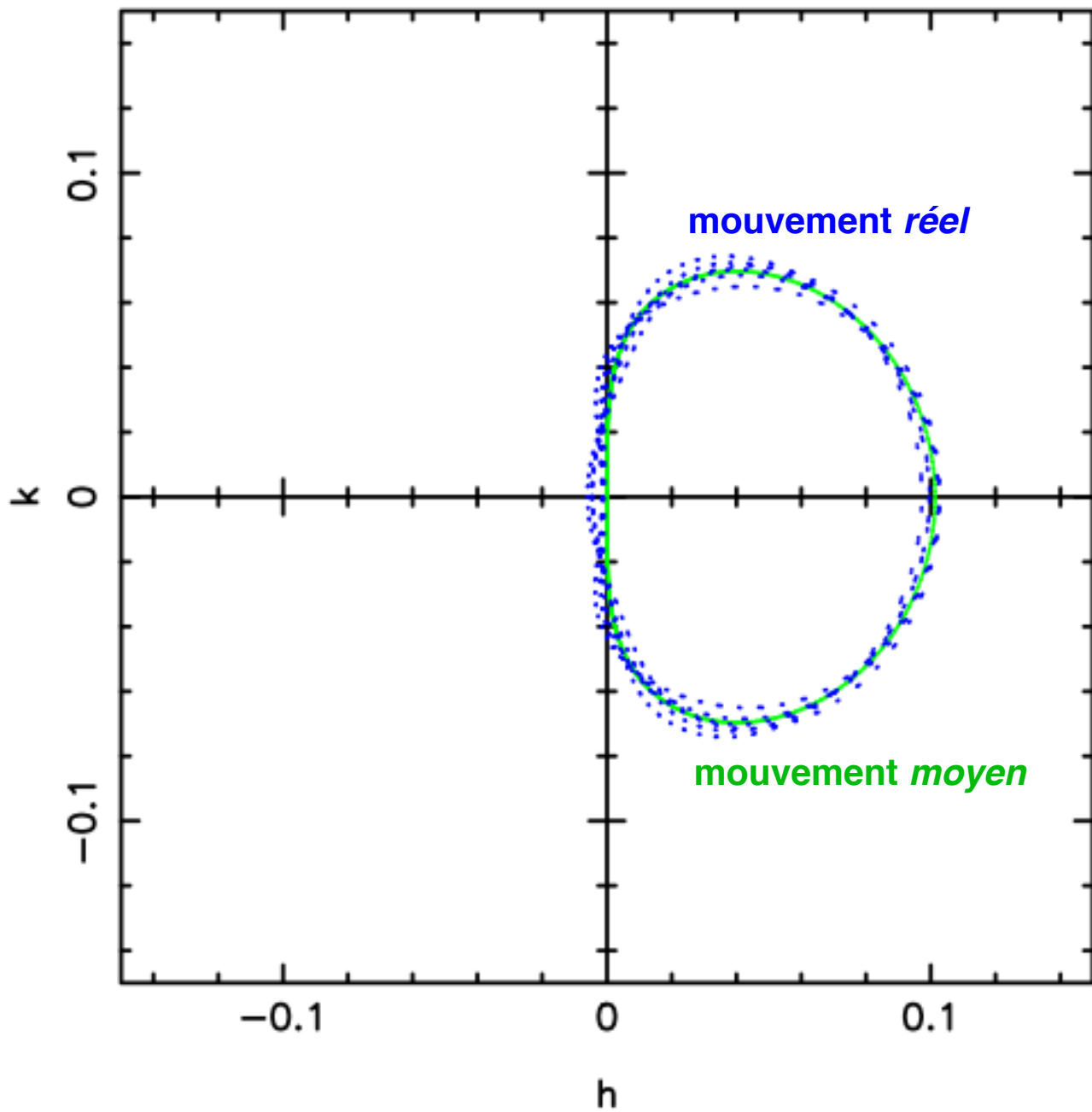
astéroïde de
masse nulle
(pb restreint) en
résonance 2:1
avec Jupiter, de
masse $m_s= 0.00$
(relative au Sole

$J_C= -1.5889...$

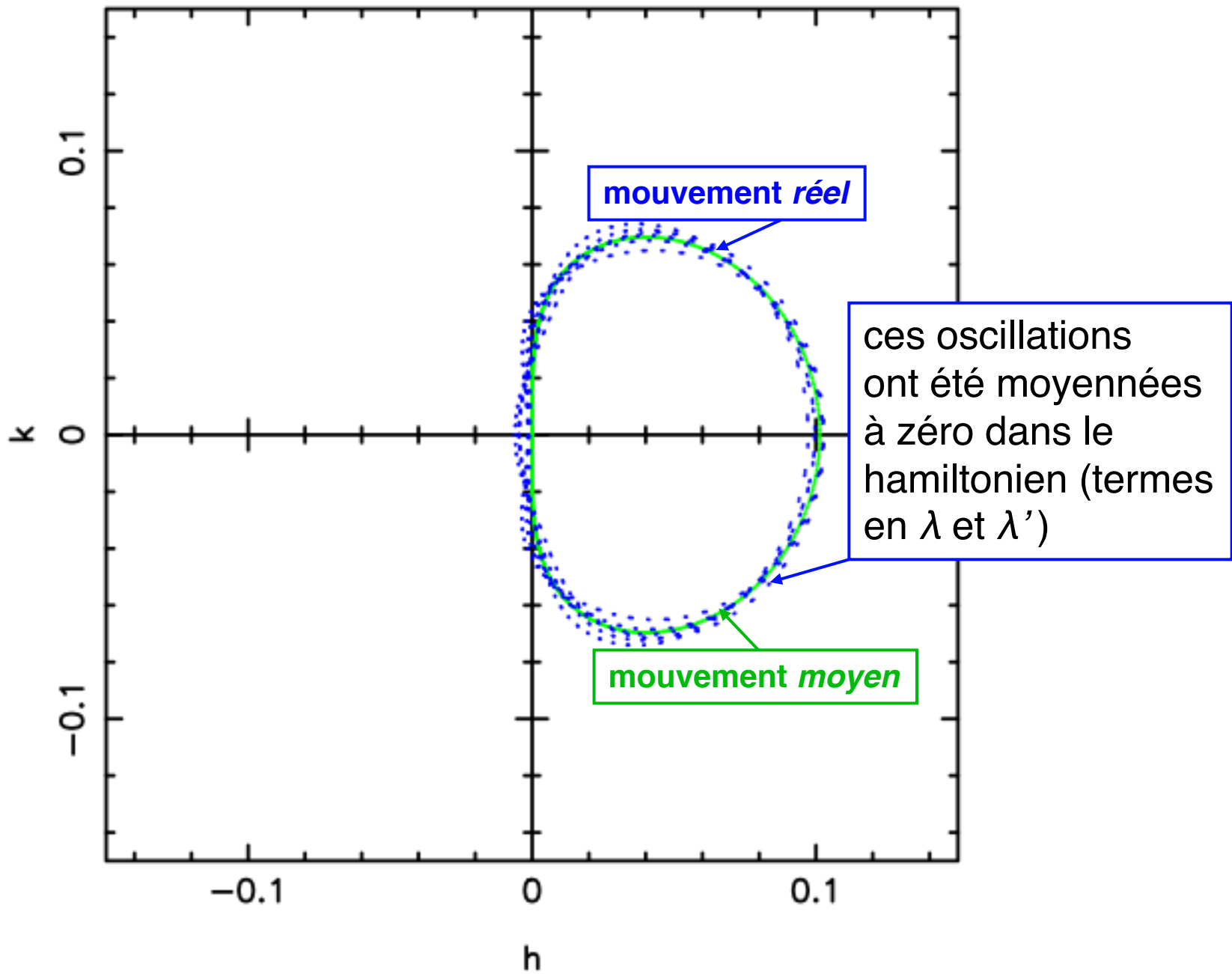
Delaunay $\epsilon=0.00039$, $J= 0$, reel $m_s=0.001$ $J= -1.58894836397564$



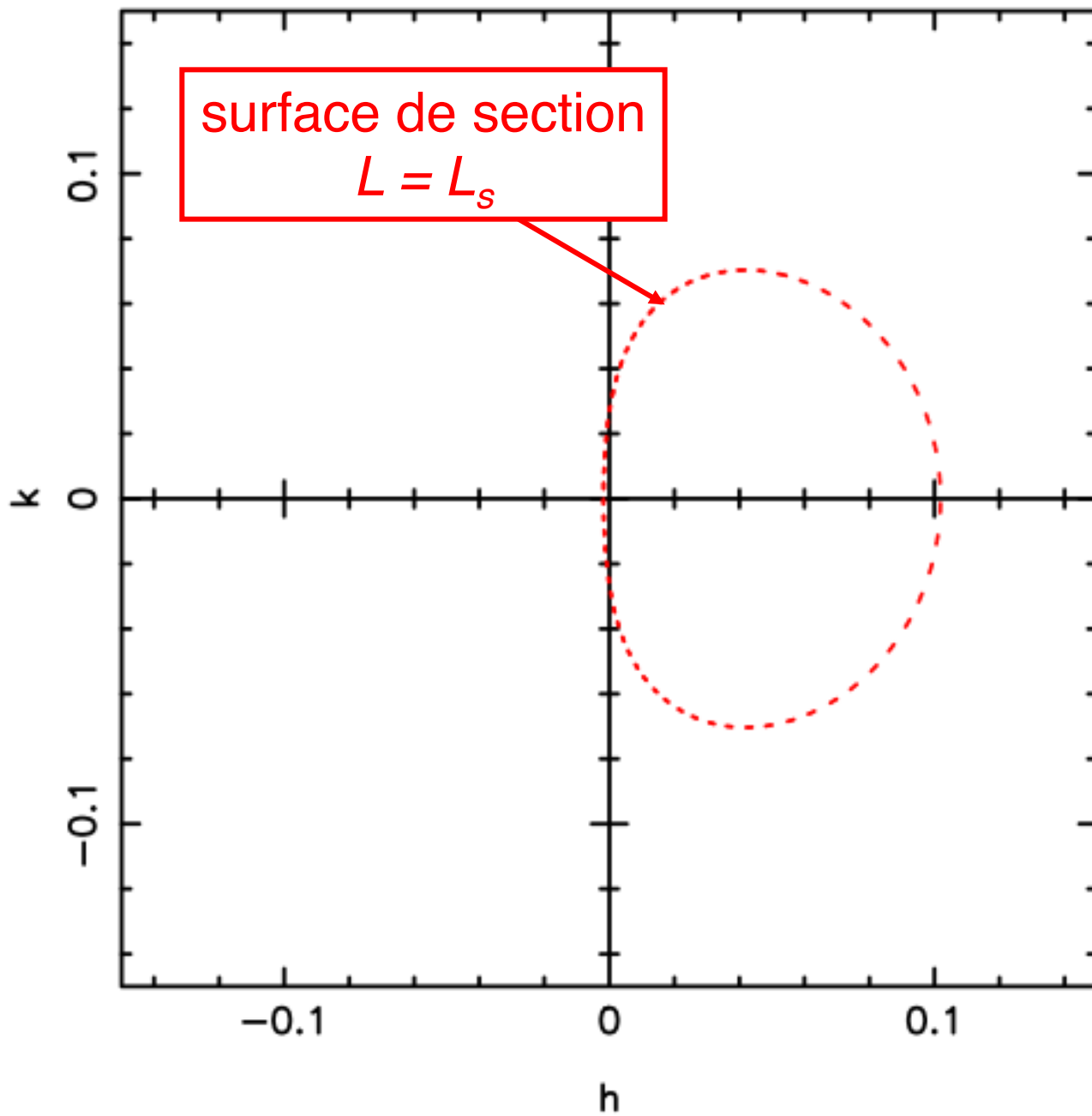
Delaunay $\epsilon=0.00039$, $J= 0$, reel $m_s=0.001$ $J= -1.58894836397564$



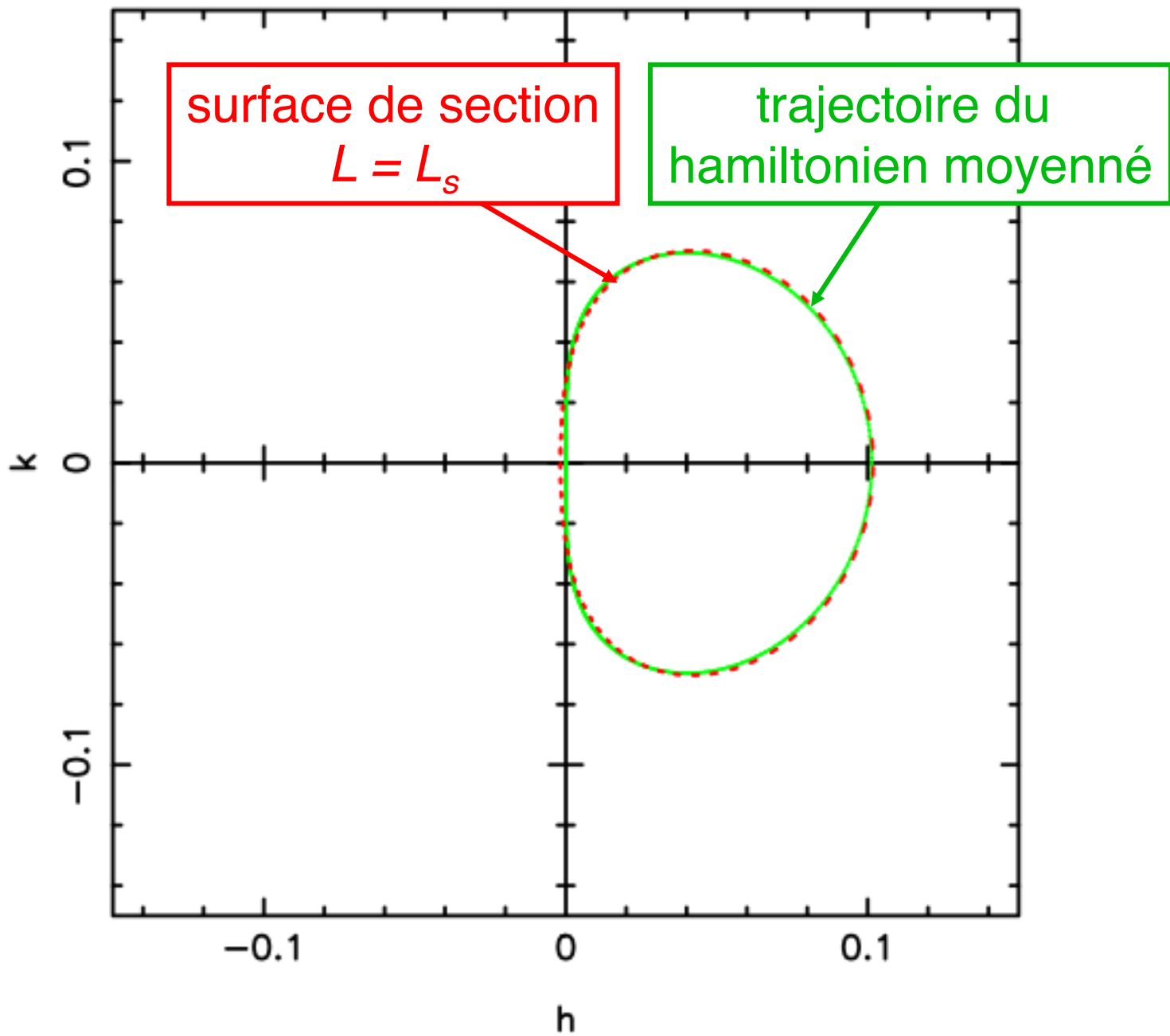
Delaunay $\epsilon=0.00039$, $J= 0$, reel $m_s=0.001$ $J= -1.58894836397564$



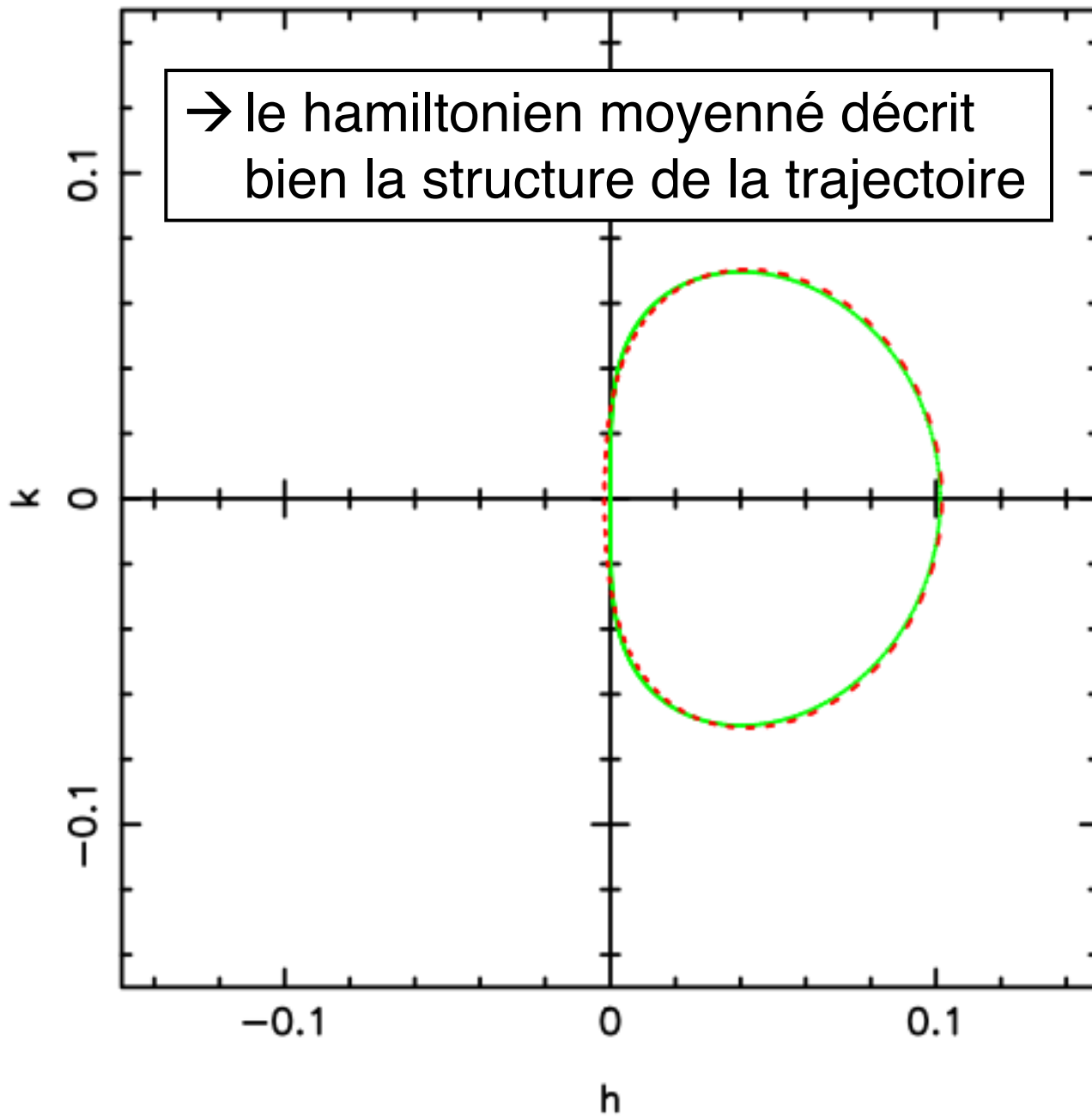
Delaunay $\epsilon=0.00039$, $J= 0$, reel $m_s=0.001$ $J= -1.58894836397564$



Delaunay $\epsilon=0.00039$, $J= 0$, reel $m_s=0.001$ $J= -1.58894836397564$

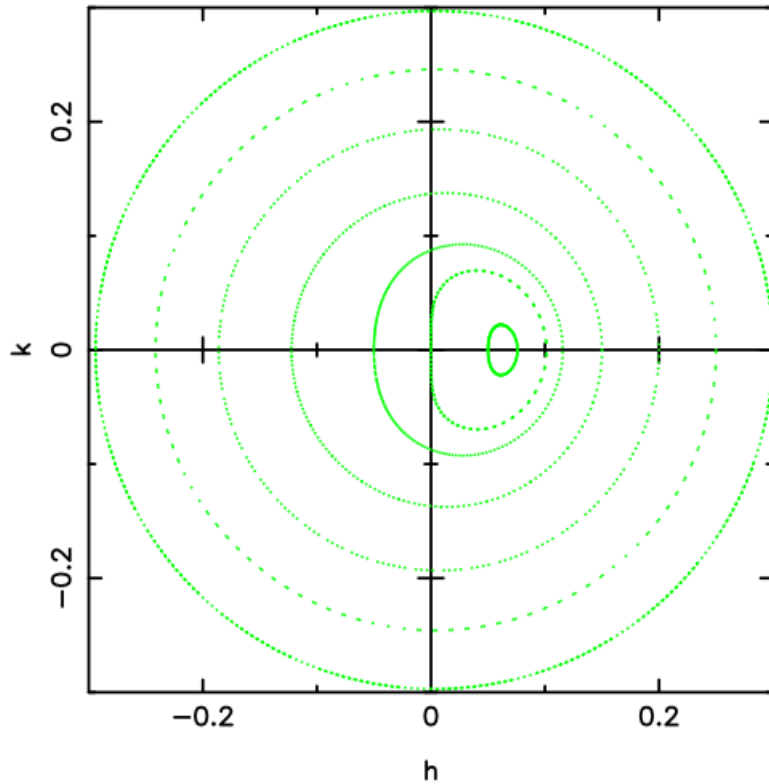


Delaunay $\epsilon=0.00039$, $J= 0$, reel $m_s=0.001$ $J= -1.58894836397564$



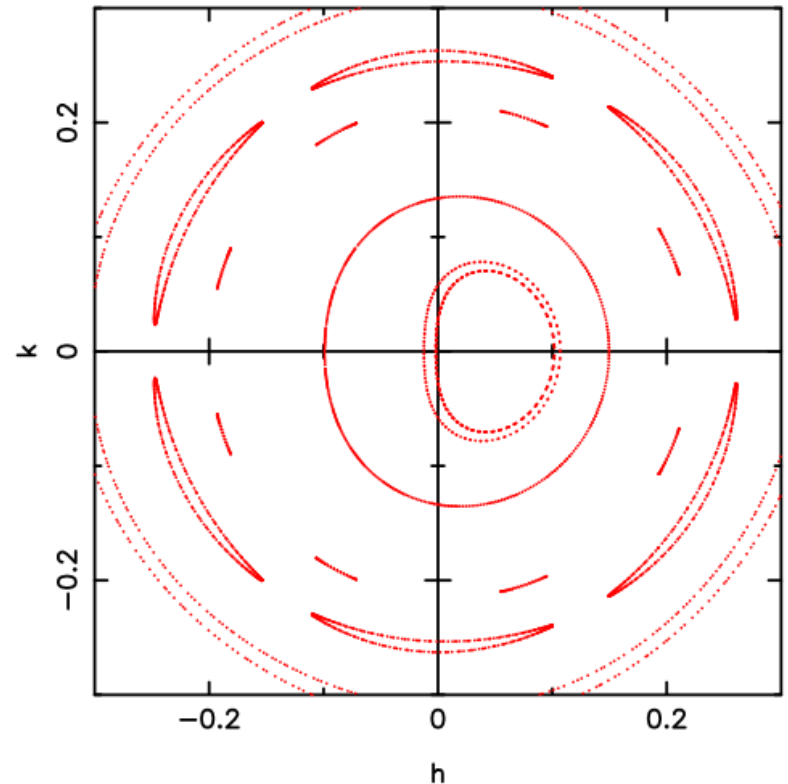
mais cela n'est plus vrai pour les grandes excentricités

Delaunay $\epsilon=0.00039$, $J=0$



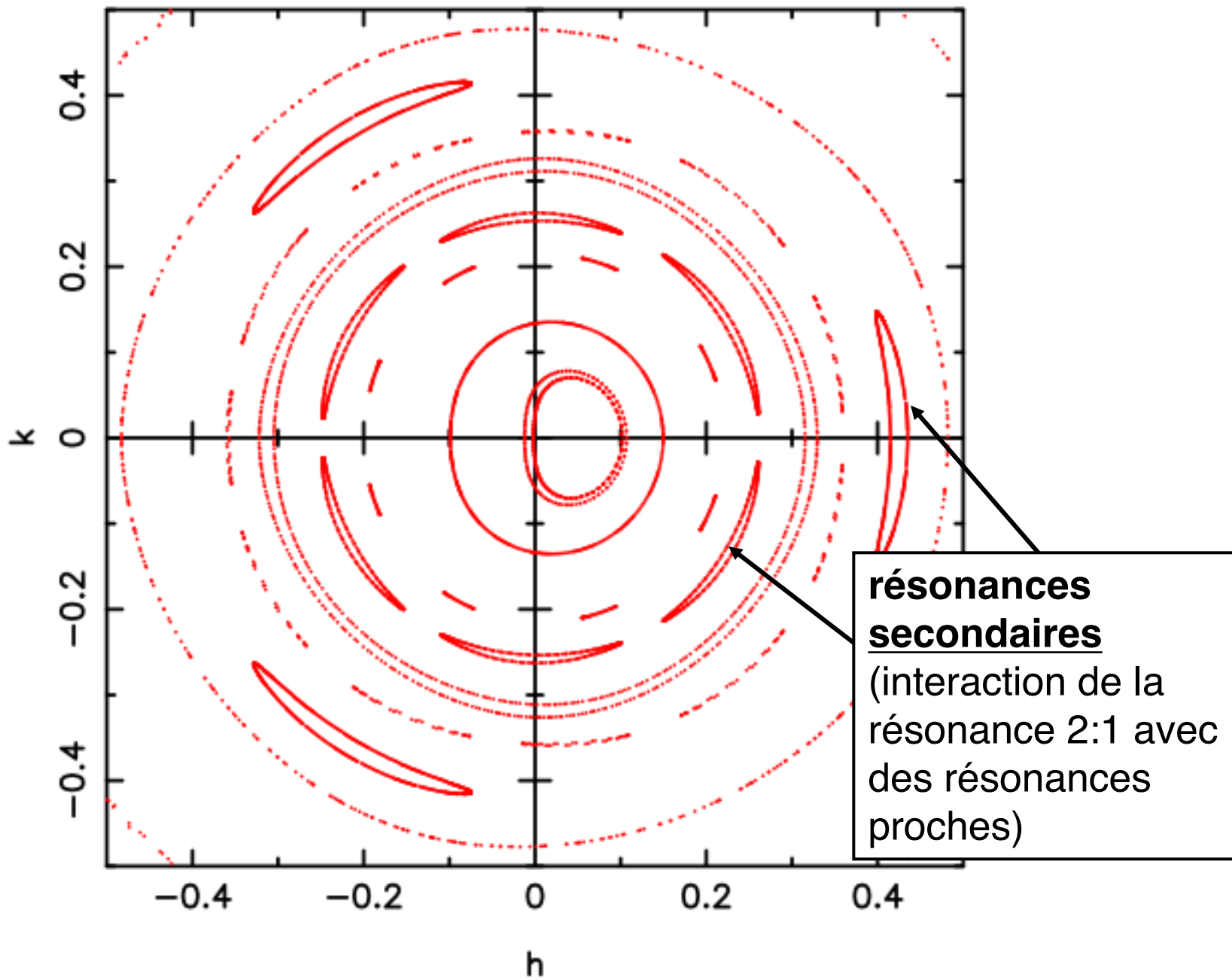
trajectoires du pb *moyenné*

reel $m_s=0.001$ $J= -1.58894836397564$



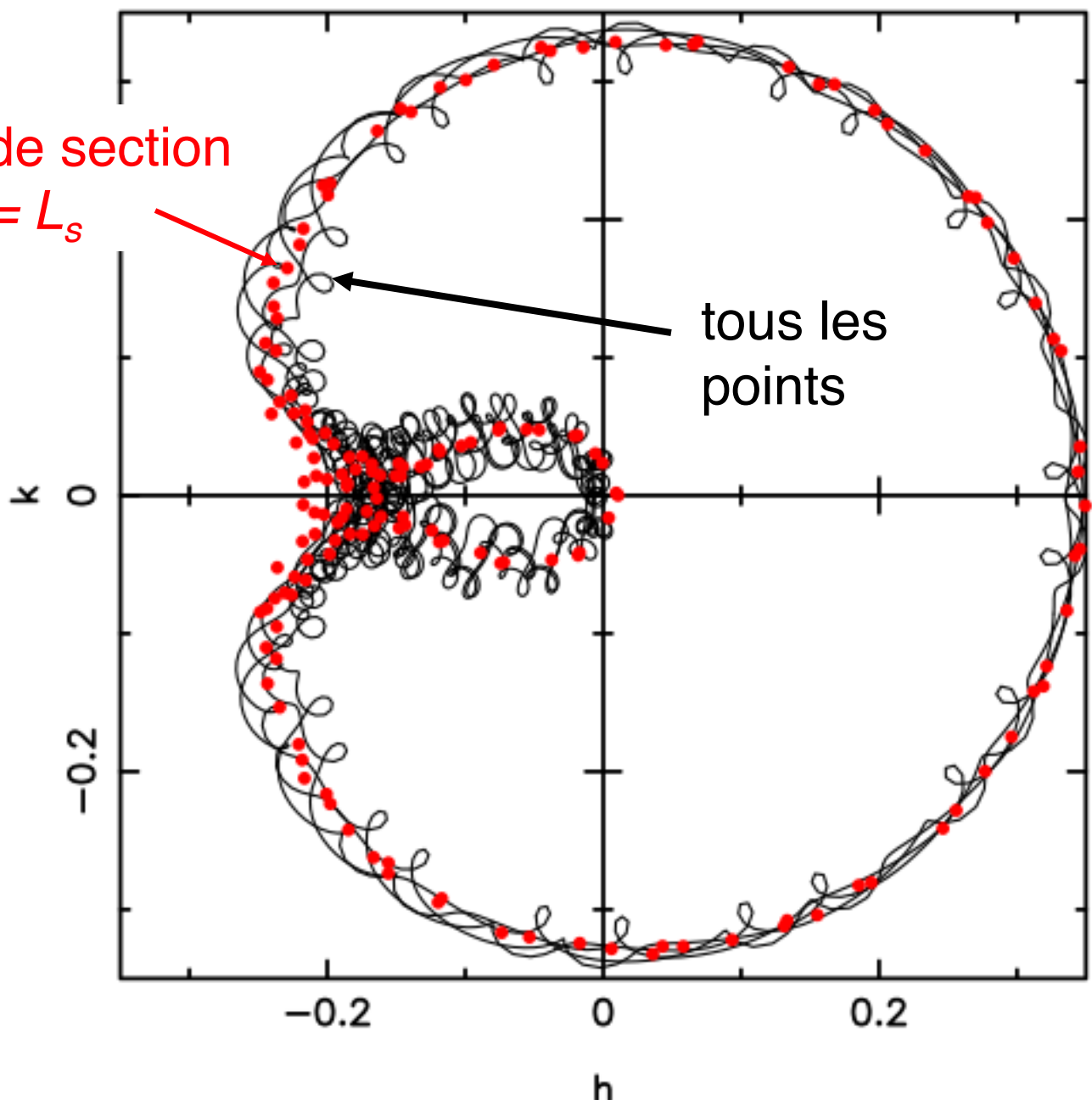
trajectoires du pb *réel* (surface de section, pb circulaire, $L=L_s$)

reel $m_s=0.001$ $J= -1.58894836397564$



reel $m_s=0.004$ $J= -1.56885867984150$ 2:1

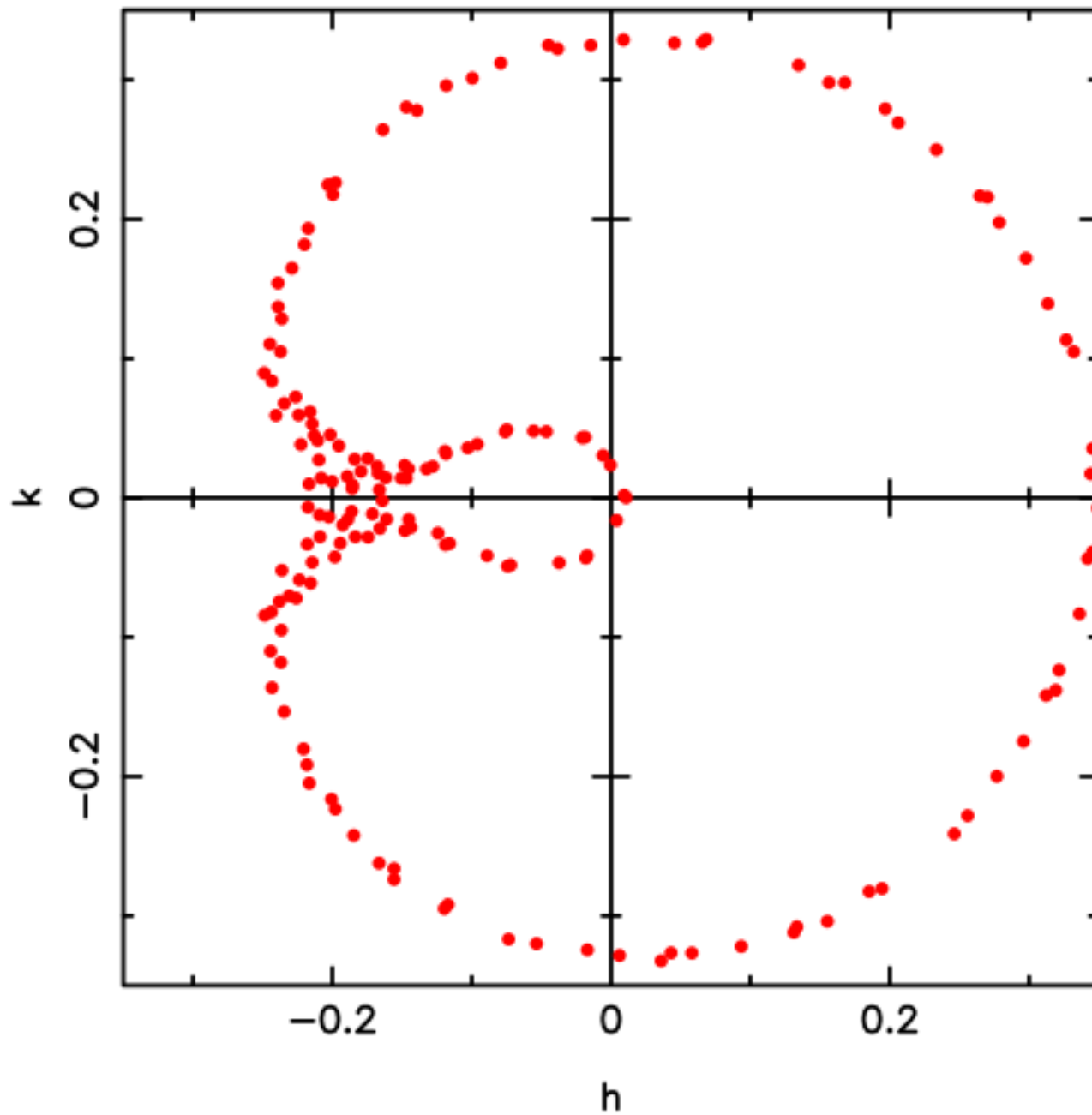
surface de section
 $L = L_s$



tous les points

2:1
 $m_s = 0.004$

reel $m_s=0.004$ $J= -1.56885867984150$ 2:1

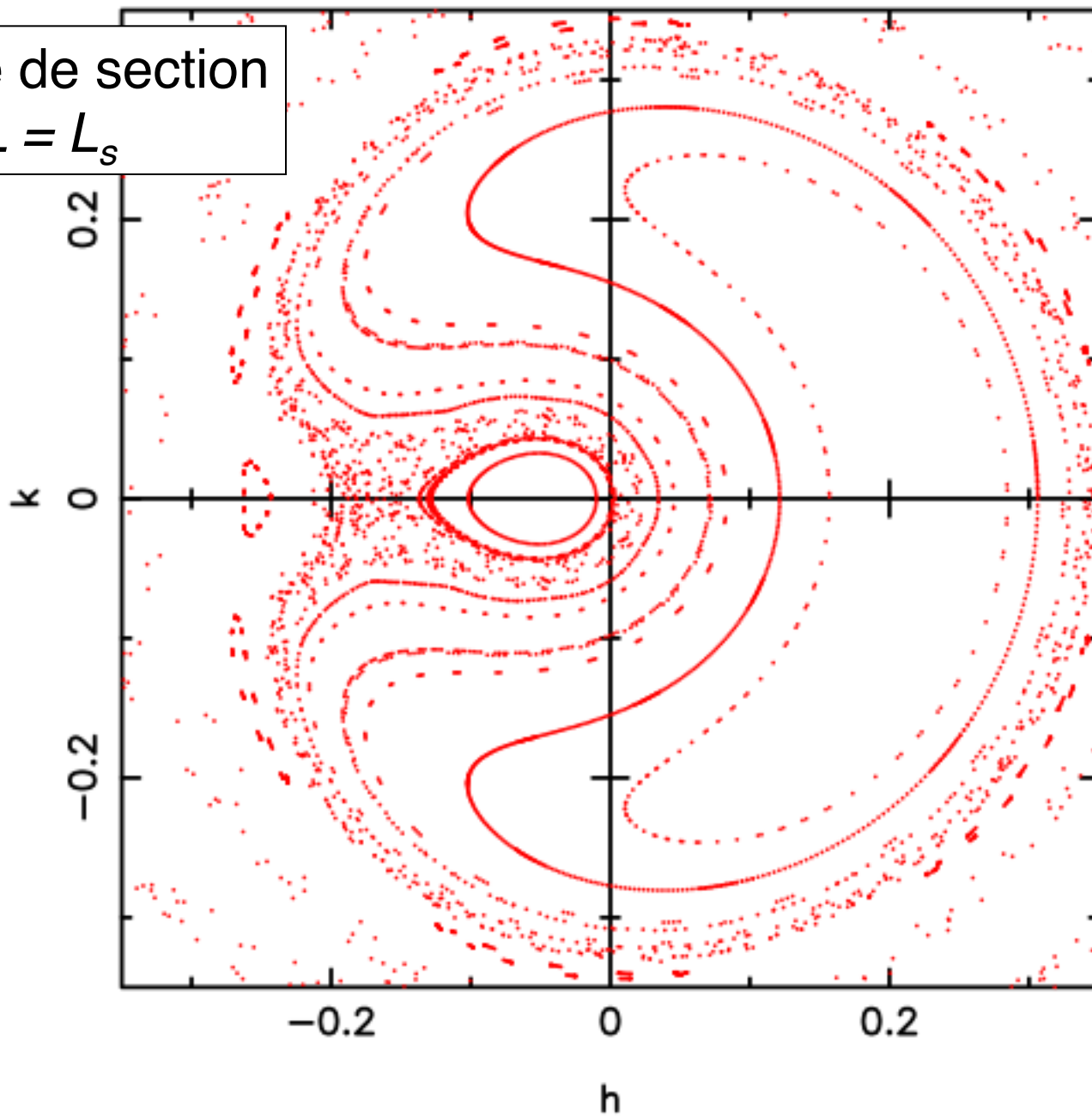


2:1
 $m_s = 0.004$

reel $m_s=0.004$ $J= -1.56885867984150$ 2:1

surface de section

$$L = L_s$$

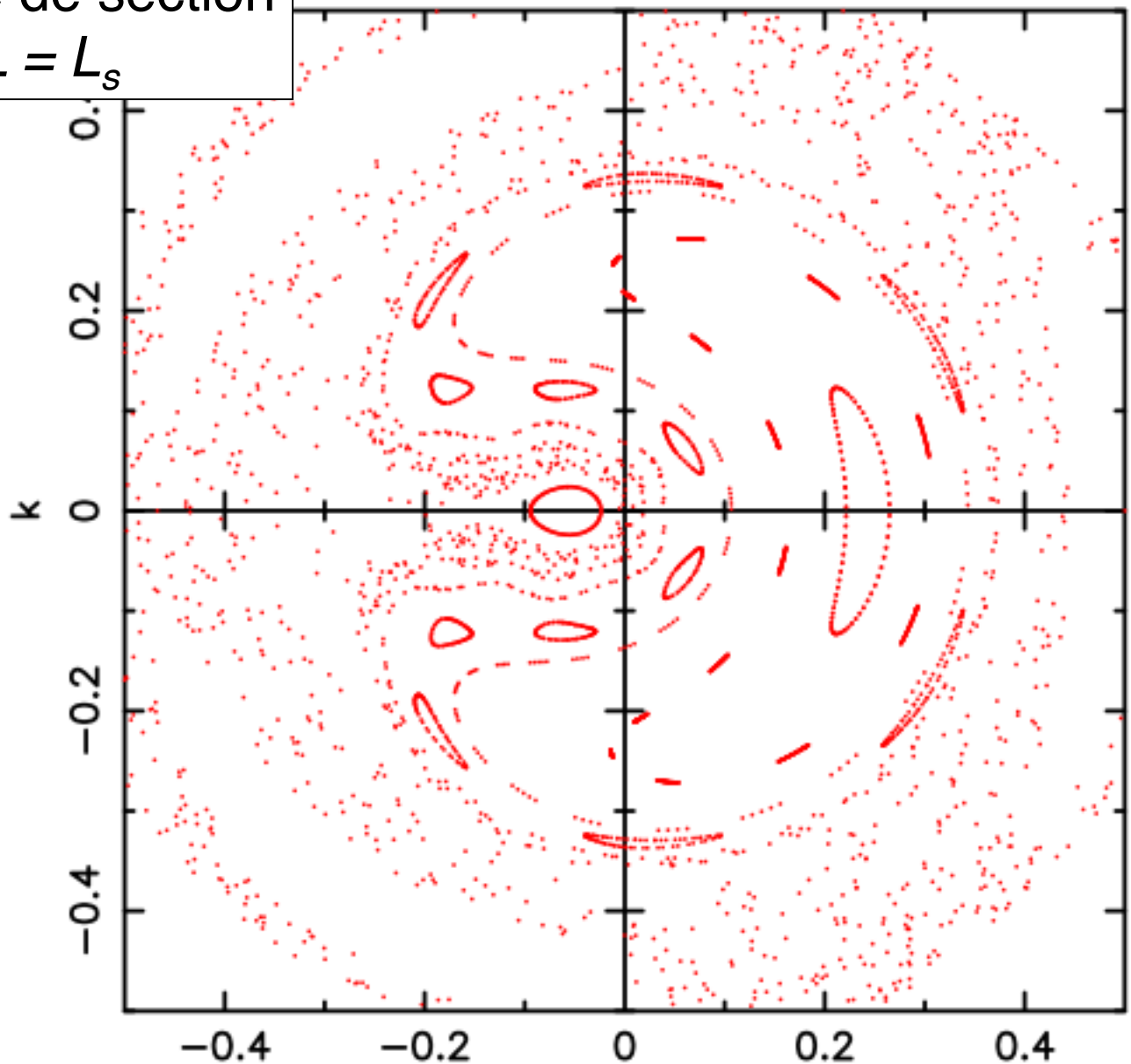


2:1

$m_s = 0.004$

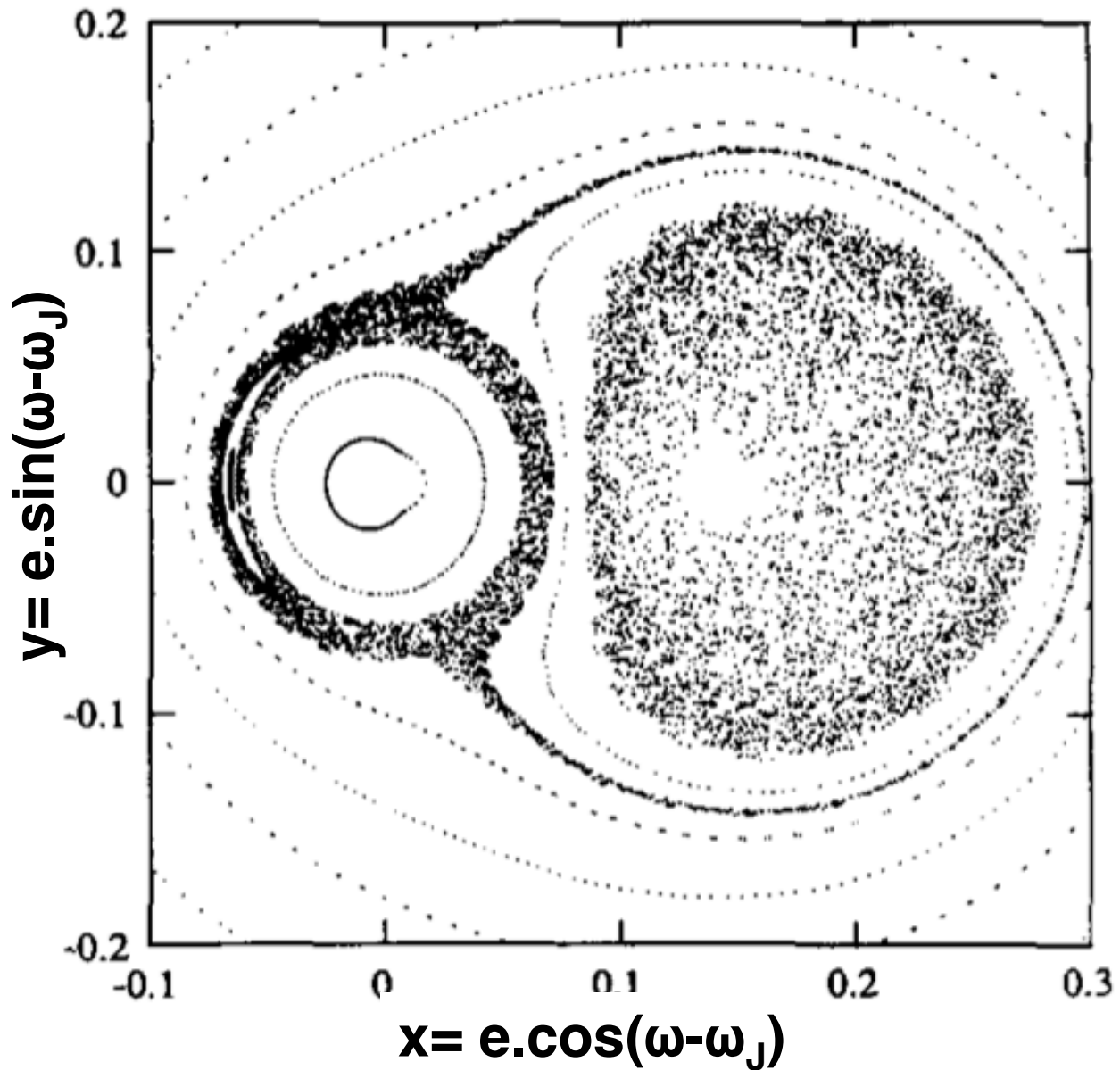
reel $m_s=0.005$ $J= -1.56587713550940$ 2:1

surface de section
 $L = L_s$

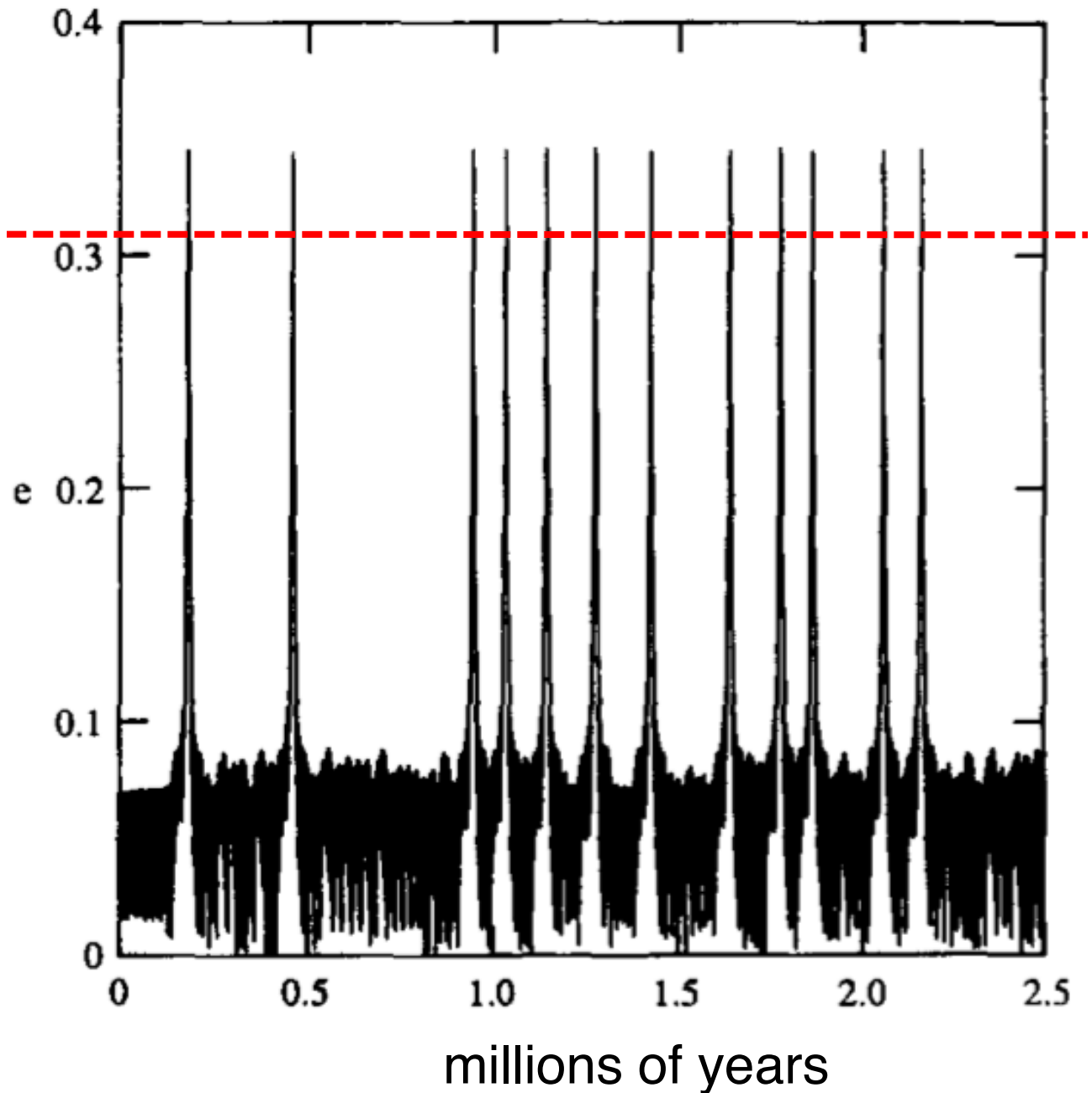


2:1
 $m_s = 0.005$

surface de section de l'orbite précédente

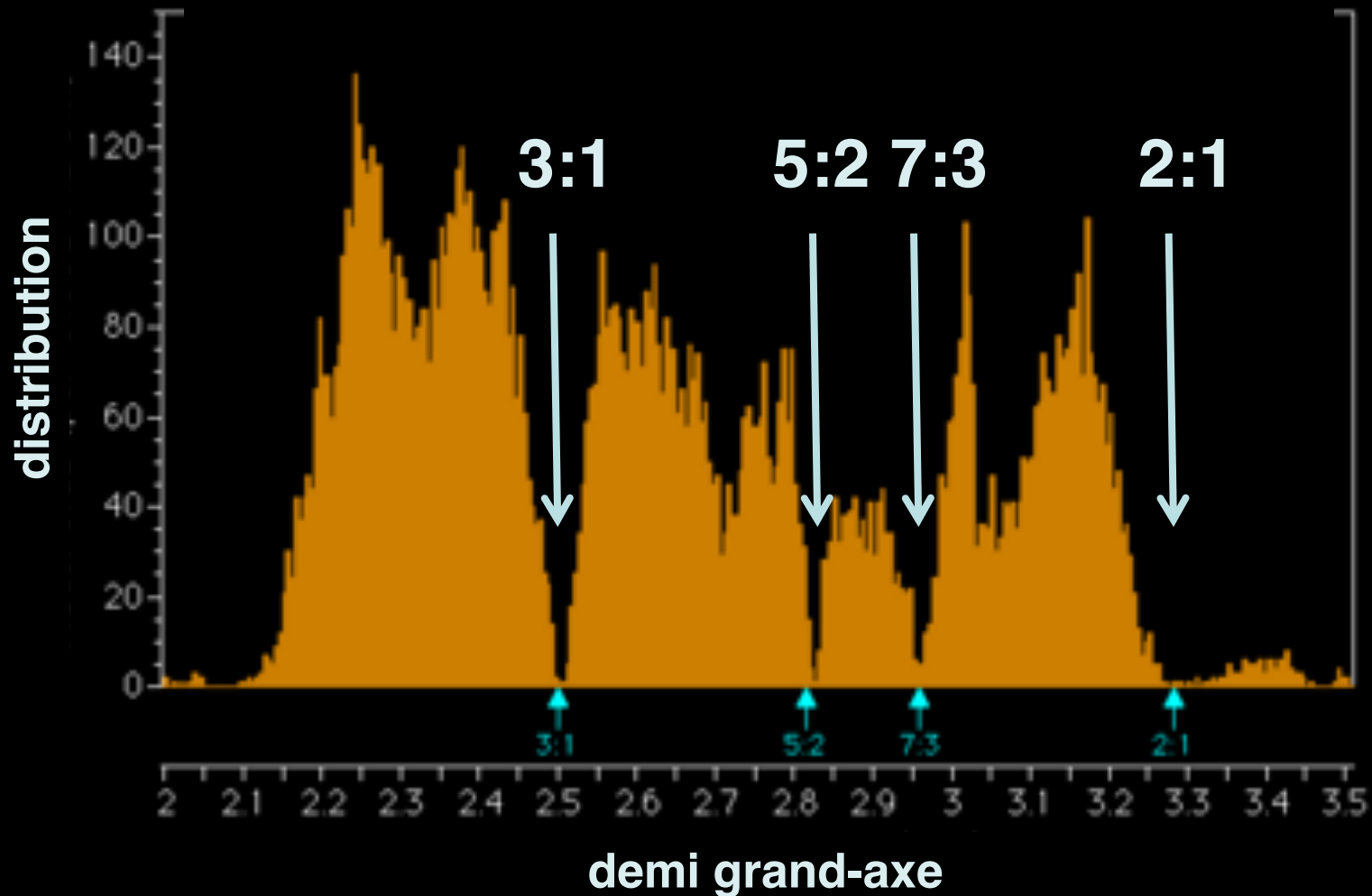


Mars crosser



J. Wisdom
«Urey Prize Lecture:
Chaotic Dynamics
in the Solar System»
Icarus **72**, 241 (1987)

les résonance de moyen mouvement exemple des divisions de Kirkwood ceinture principale d'astéroïdes



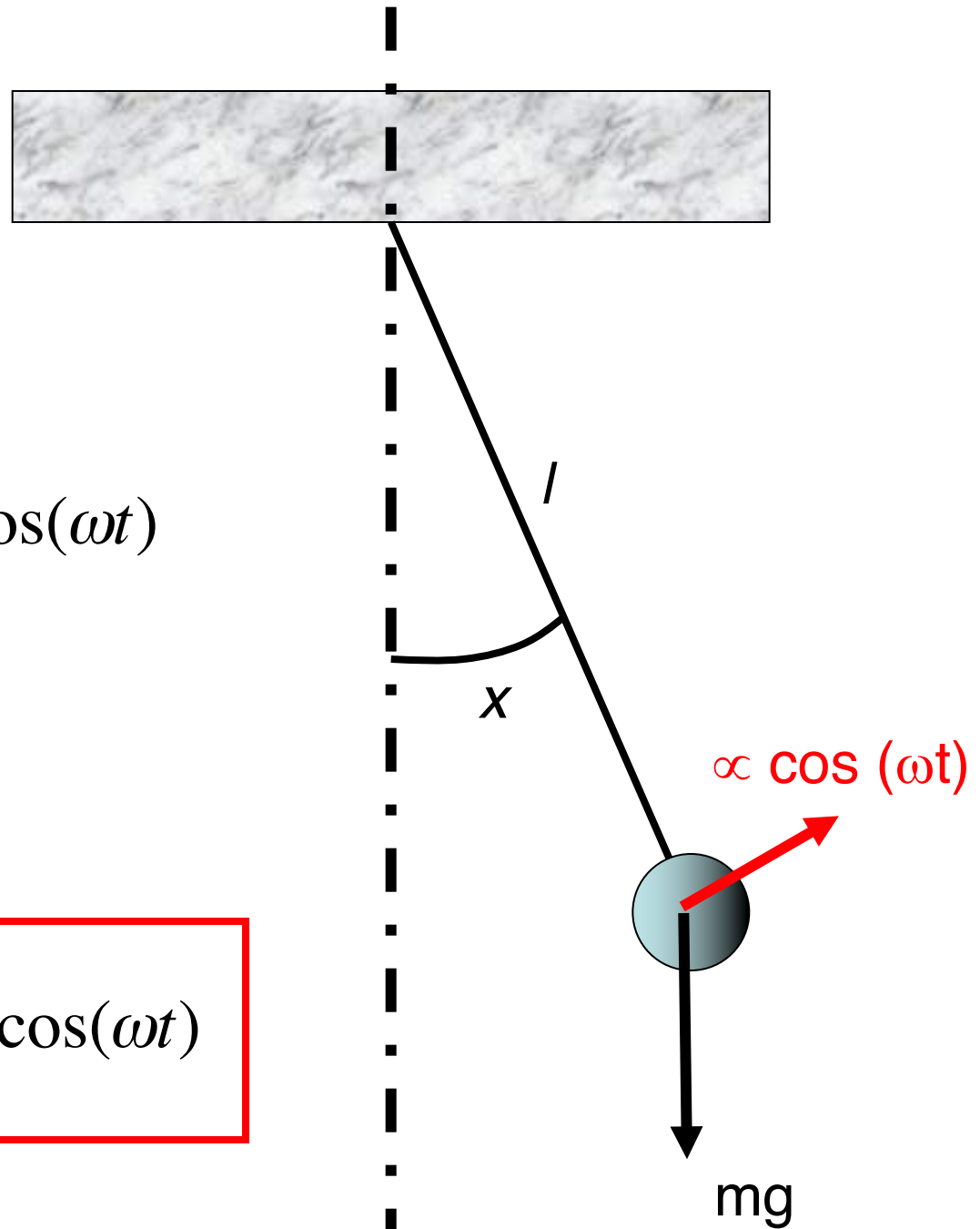
ressemblance avec le pendule simple...

"toy model":

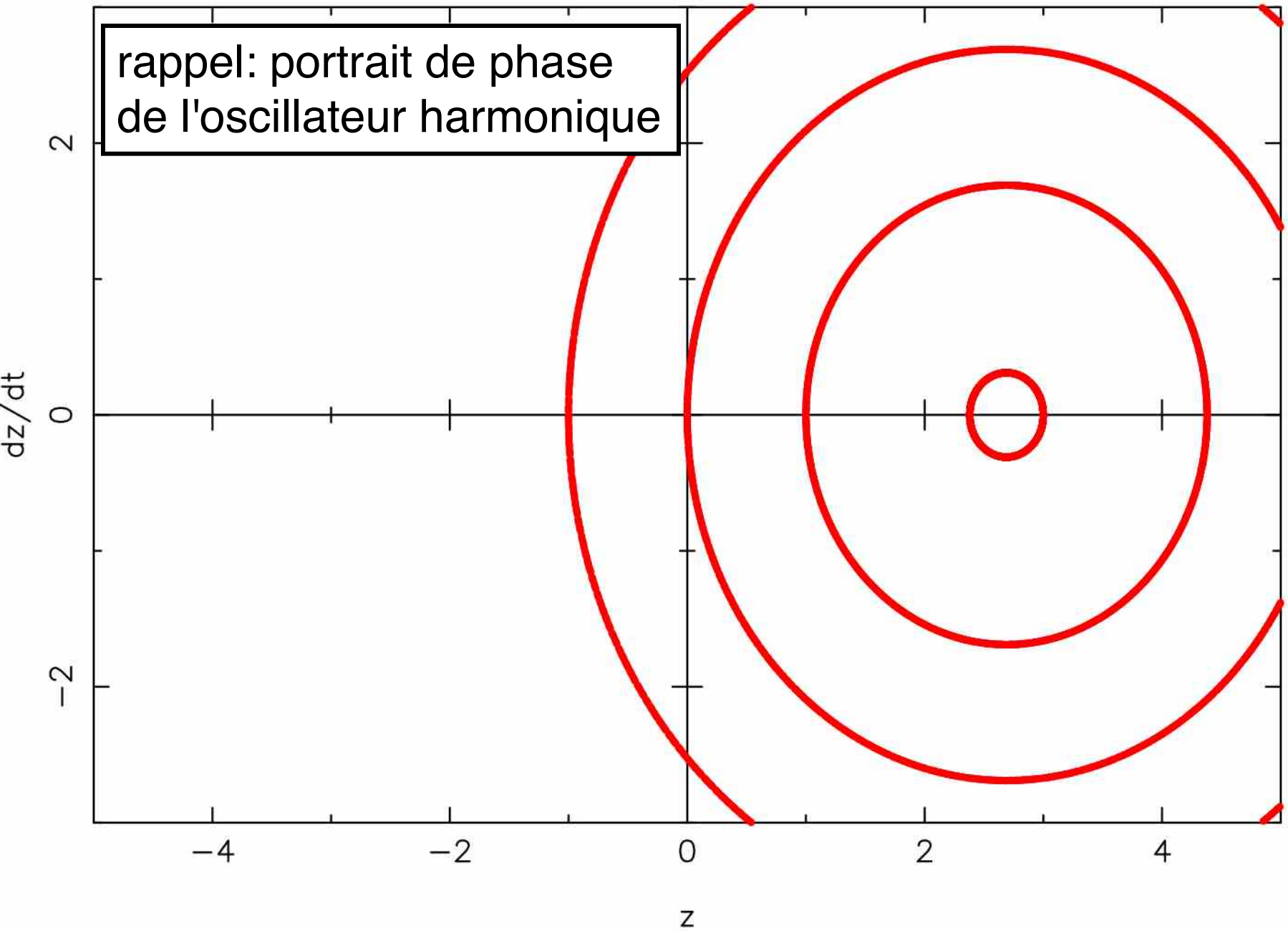
$$\frac{d^2 x}{dt^2} = -\frac{g}{l} \cdot \sin(x) + F \cdot \cos(\omega t)$$

soit :

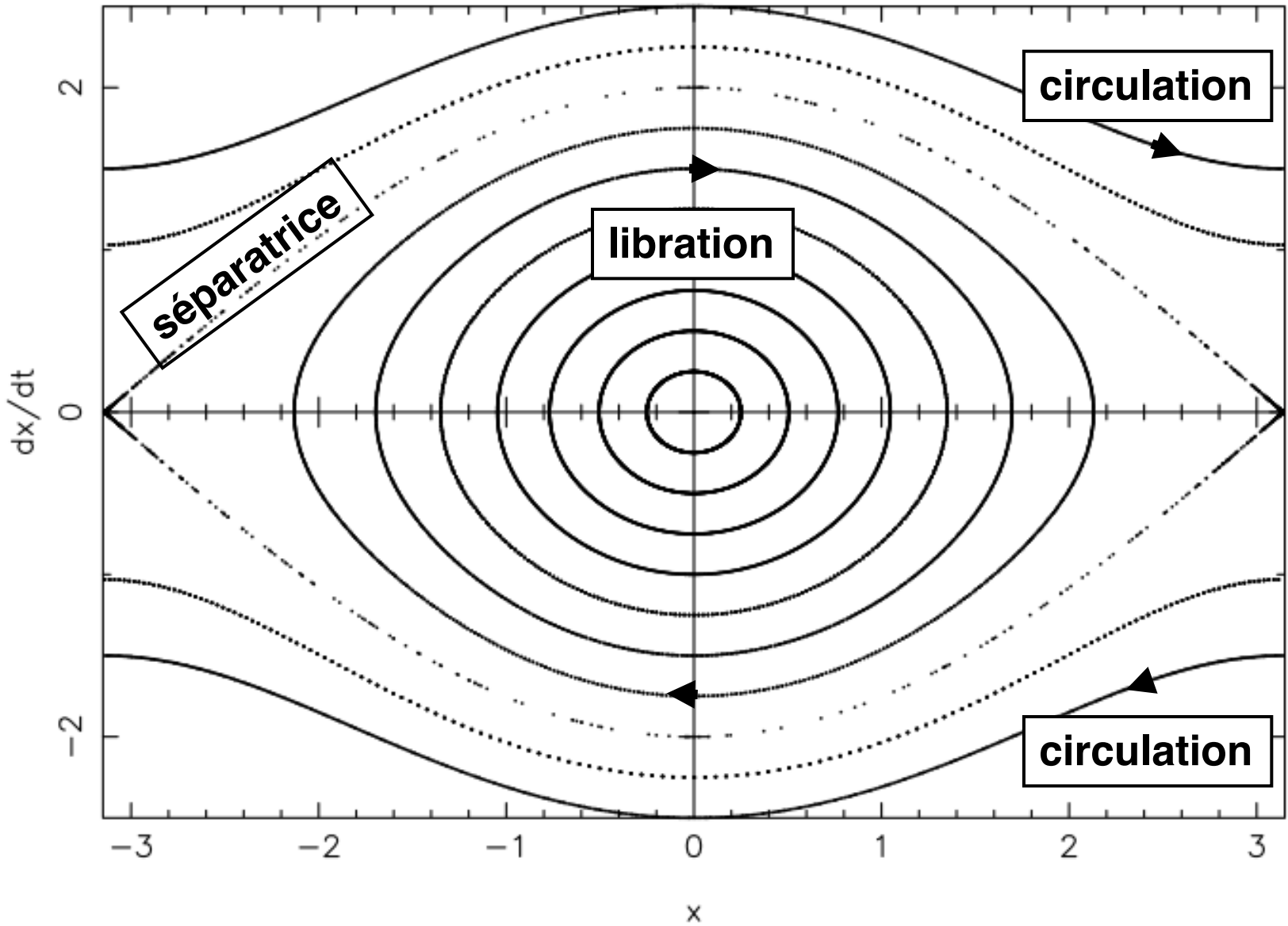
$$\frac{d^2 x}{dt^2} = -\omega_0^2 \cdot \sin(x) + F \cdot \cos(\omega t)$$



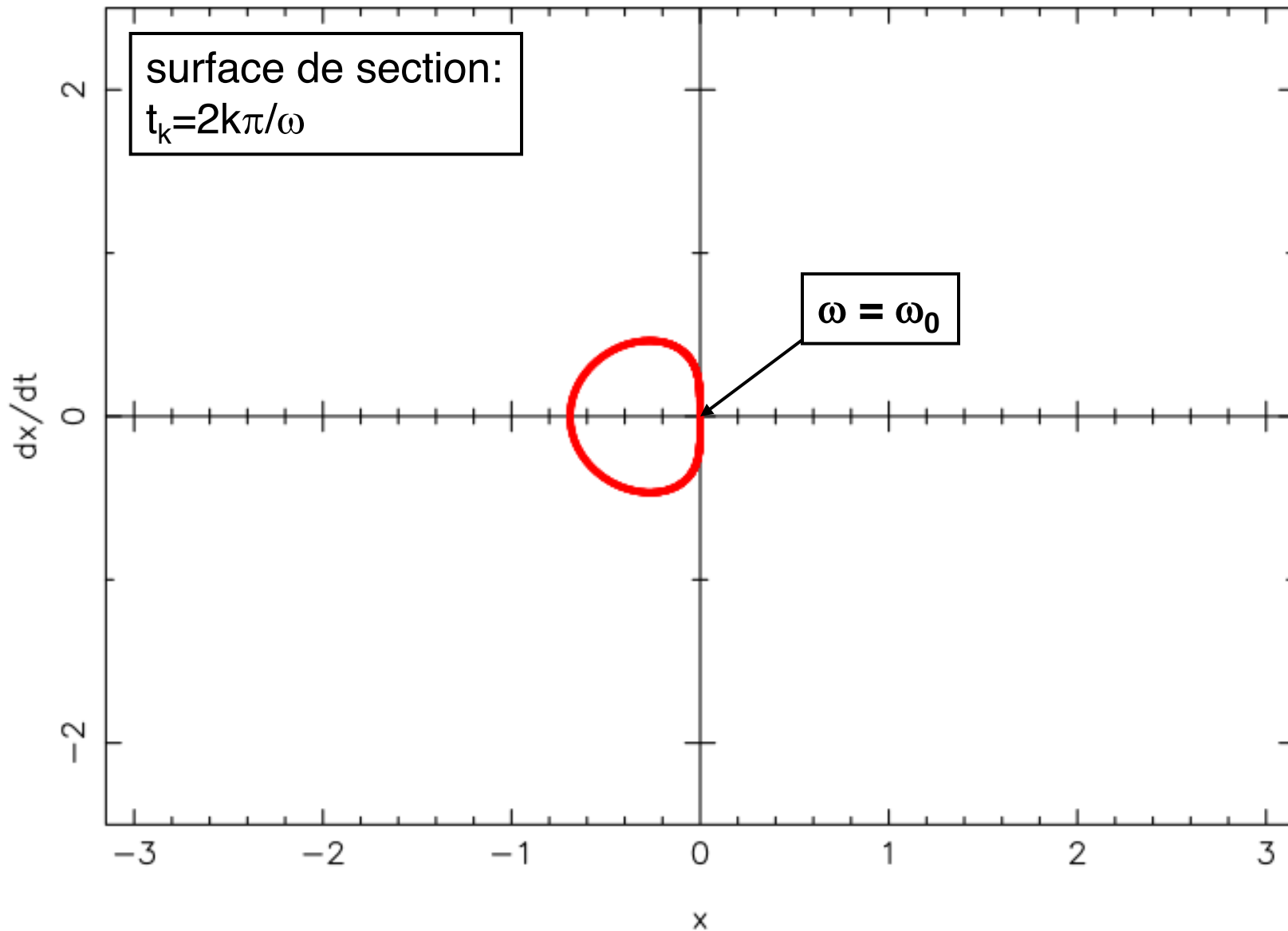
Oscillateur harmonique, $F=0.1$, $\omega=0.98123456789$



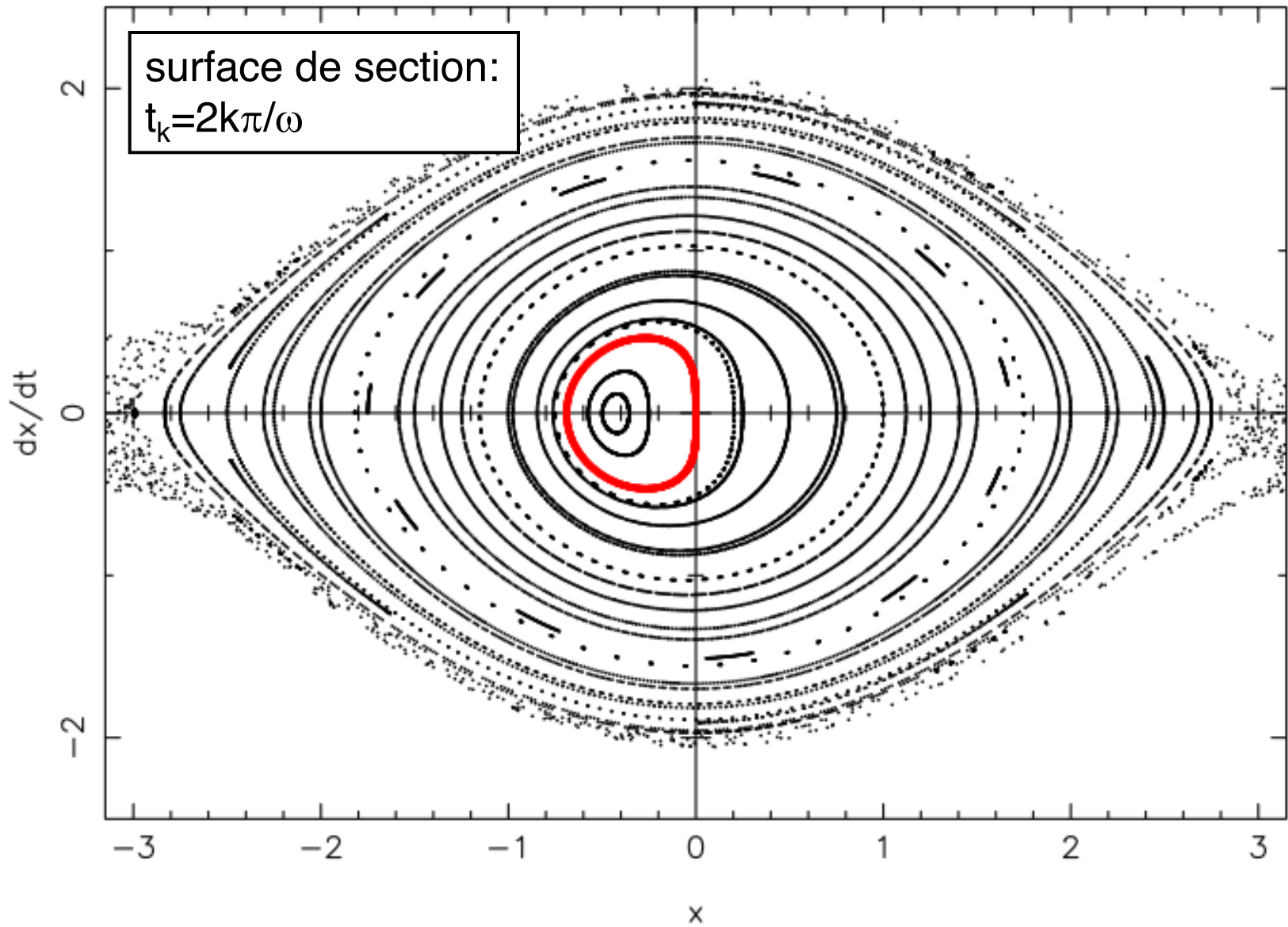
portrait de phase pendule simple



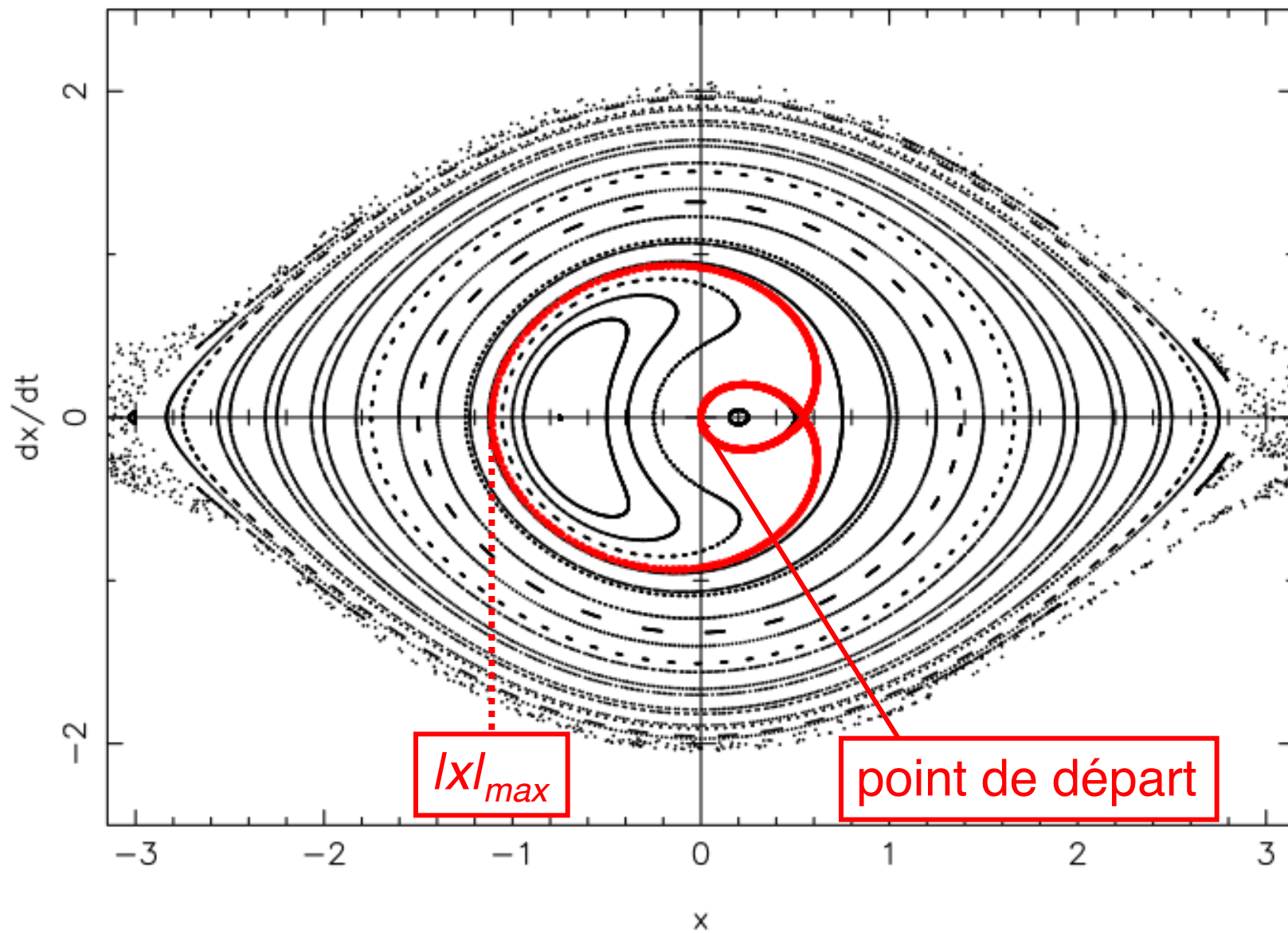
portrait de phase pendule simple forcé



pendule simple forcée, $\omega = 1$, $F = 0.01$



pendule simple forcée, $\omega = 0.97204$, $F = 0.01$



pendule simple force, $F = 0.01$

